

# CERCETĂRI ASUPRA SOLUȚIILOR DE CREȘTERE A EFICIENȚEI SISTEMELOR MECANICE

TEZĂ DE ABILITARE

Domeniul: Inginerie mecanică



**Lateș Mihai - Tiberiu**



Universitatea  
Transilvania  
din Brașov



## STRUCTURA

### ■ REALIZĂRI ȘTIINȚIFICE ȘI PROFESIONALE

- **Modelarea și analiza funcțională a sistemelor de orientare**
  - Modelarea și analiza funcțională a sistemelor de orientare a panourilor fotovoltaice
  - Modelarea și analiza funcțională a sistemelor de orientare a captatoarelor solare
  - Concluzii
- **Cercetări asupra aspectelor funcțional-constructive ale transmisiilor mecanice**
  - Analiza funcțională a rulmenților
  - Analiza funcțional-constructivă a transmisiilor prin curele trapezoidale și prin lanțuri
  - Studiul frecării între cuplurile de materiale oțel/poliamidă
  - Concluzii

### ■ PLANURI DE EVOLUȚIE ȘI DEZVOLTARE A CARIEREI



## REALIZĂRI ȘTIINȚIFICE ȘI PROFESIONALE - INTRODUCERE

- 2003 – Teza de doctorat *Cuplaje cu contacte mobile*
- 2003 – prezent – Cercetări științifice în domeniul creșterii eficienței sistemelor mecanice
- Soluții de creștere a eficienței sistemelor mecanice
  - Sisteme mecanice caracterizate prin dimensiuni de componente și gabarit reduse ⇒ *economie de material*
  - Reducerea perioadelor tranzitorii din timpul de funcționare și a suprareglajului ⇒ *economie de energie*
  - Creșterea randamentului ⇒ *economie de energie + creștere perioadă de funcționare*



## IREALIZĂRI ȘTIINȚIFICE ȘI PROFESIONALE

### DIRECTII DE CERCETARE 2003 - PREZENT

- Modelarea și analiza funcțională a sistemelor de orientare
  - Modelări și analize statice  $\Rightarrow$  *gabarite reduse*
  - Modelări și analize de frecvențe proprii  $\Rightarrow$  *gabarite reduse*
  - Modelarea sistemului de control  $\Rightarrow$  *reducerea perioadelor tranzitorii și a suprareglajului*
- Cercetări asupra aspectelor funcțional-constructive ale transmisiilor mecanice
  - Modelări matematice  $\Rightarrow$  *gabarite reduse*
  - Modelări și analize statice  $\Rightarrow$  *gabarite reduse*
  - Modelări și analize tribologice  $\Rightarrow$  *randament crescut*
  - Testări tribologice  $\Rightarrow$  *randament crescut*



# **REALIZĂRI ȘTIINȚIFICE ȘI PROFESIONALE**

## **I. MODELAREA ȘI ANALIZA FUNCȚIONALĂ A SISTEMELOR DE ORIENTARE**

- 1. MODELAREA ȘI ANALIZA FUNCȚIONALĂ A SISTEMELOR DE ORIENTARE A PANOURILOR FOTOVOLTAICE** □
- 2. MODELAREA ȘI ANALIZA FUNCȚIONALĂ A SISTEMELOR DE ORIENTARE A CÂPTATOARELOR SOLARE** □
- 3. CONCLUZII** □ □



Universitatea  
Transilvania  
din Brașov





# **1. MODELAREA ȘI ANALIZA FUNCȚIONALĂ A SISTEMELOR DE ORIENTARE A PANOURILOR FOTOVOLTAICE**

1.1. Proiectarea structurii

1.2. Modelarea și analiza cu metoda elementului finit

1.3. Modelarea sistemului de control și simularea funcționării



# 1. MODELAREA ȘI ANALIZA FUNCȚIONALĂ A SISTEMELOR DE ORIENTARE A PANOURILOR FOTOVOLTAICE

## 1.1. PROIECTAREA STRUCTURII

### ■ Date de intrare:

- Tipul sistemului de orientare
- Viteza maximă a vântului
- Domeniul unghiular de orientare

### ■ Date de ieșire:

- Proiectarea structurii de susținere
- Alegerea actuatorului
- Proiectarea montajului cu rulmenți
- Proiectarea couplelor

⇒ *Soluția constructivă a sistemului de orientare*



# 1. MODELAREA ȘI ANALIZA FUNCȚIONALĂ A SISTEMELOR DE ORIENTARE A PANOURILOR FOTOVOLTAICE

## 1.1. PROIECTAREA STRUCTURII

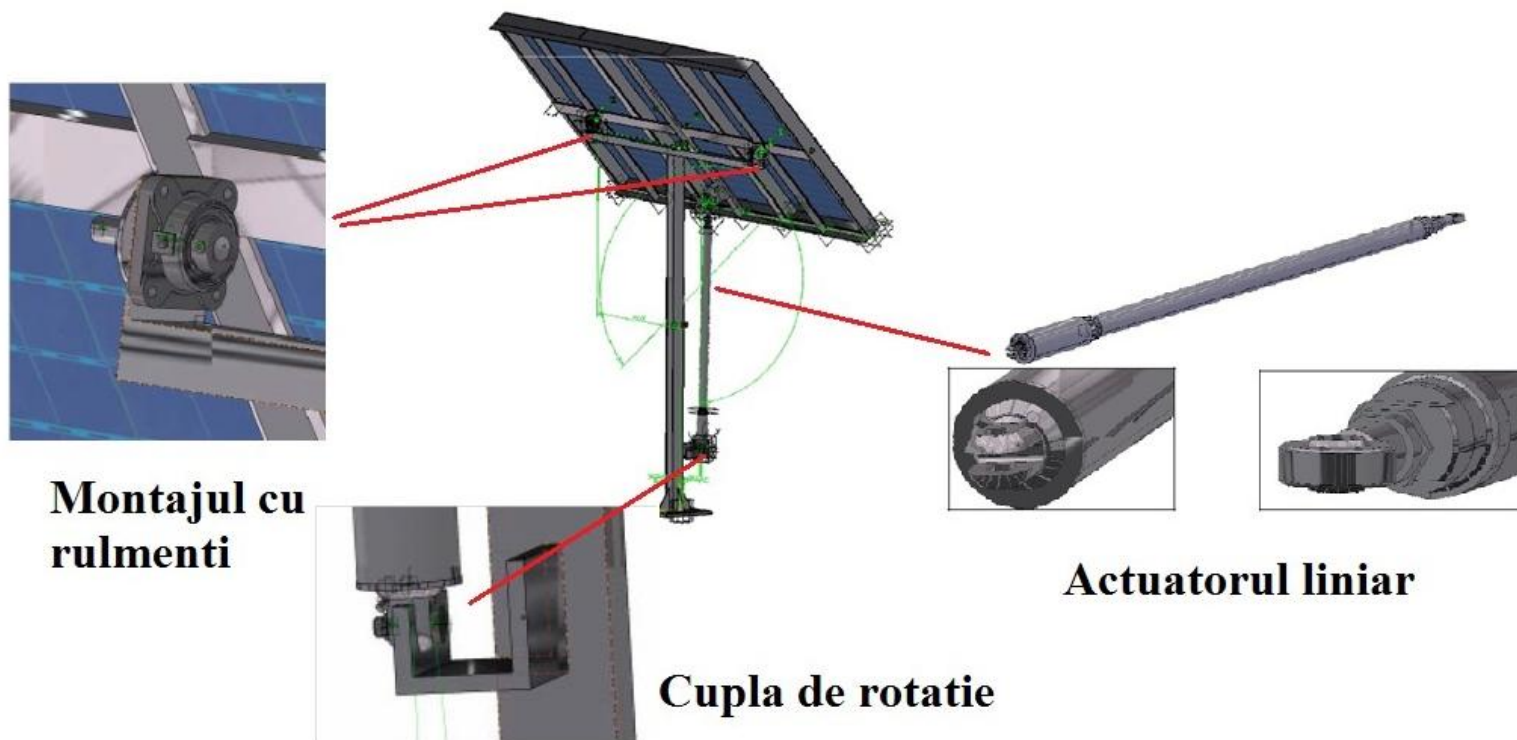


Fig.1. Soluția constructivă a sistemului de orientare

# 1. MODELAREA ȘI ANALIZA FUNCȚIONALĂ A SISTEMELOR DE ORIENTARE A PANOURILOR FOTOVOLTAICE

## 1.2. MODELAREA ȘI ANALIZA CU METODA ELEMENTULUI FINIT

### ■ Pre-procesare:

- Modelarea domeniului geometric
- Modelarea materialului
- Modelarea cu elemente finite
- Modelarea constrângerilor
- Modelarea încărcărilor (dacă este cazul)
- Verificarea modelului

### ■ Rezolvarea modelului

### ■ Post-procesare:

- Structură deformată/animată
- Câmpuri de tensiuni/deplasări
- Liste valori



# 1. MODELAREA ȘI ANALIZA FUNCȚIONALĂ A SISTEMELOR DE ORIENTARE A PANOURILOR FOTOVOLTAICE

## 1.2. MODELAREA ȘI ANALIZA CU METODA ELEMENTULUI FINIT

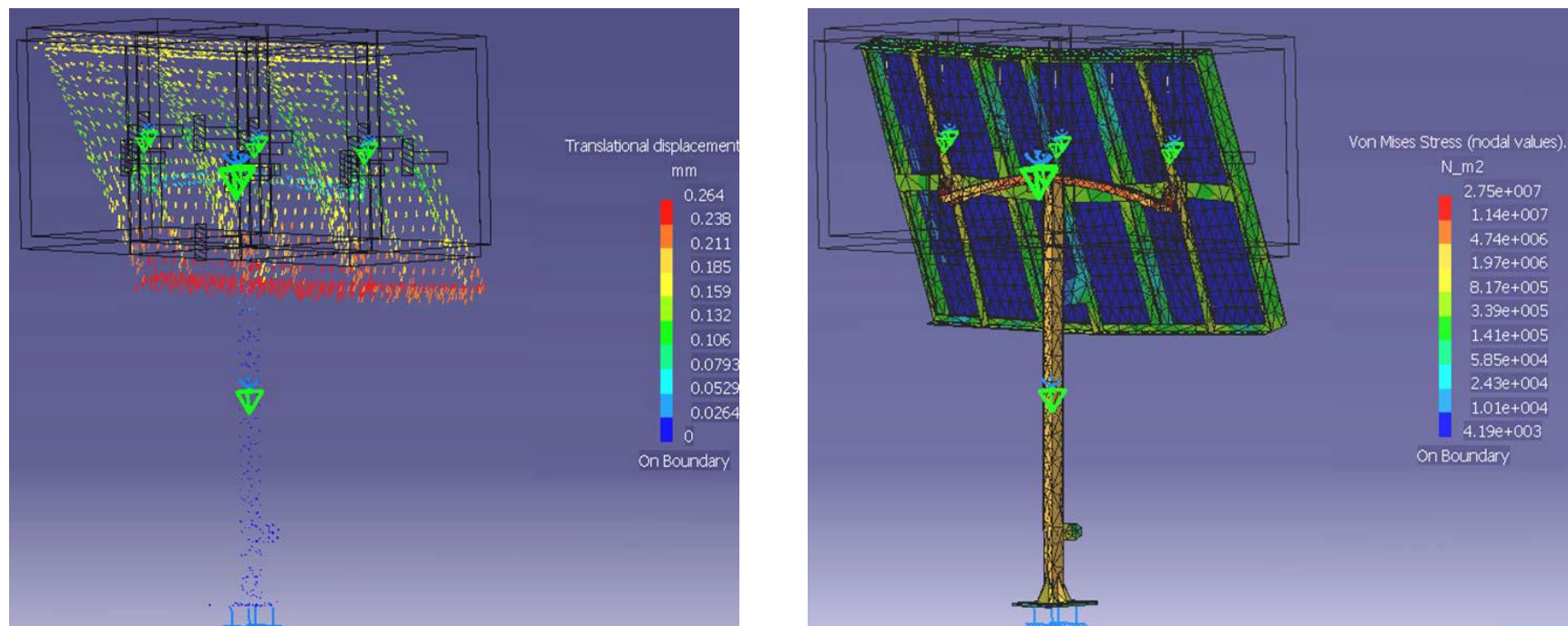


Fig.2. Analiza statică – câmpuri de deplasări și tensiuni



# 1. MODELAREA ȘI ANALIZA FUNCȚIONALĂ A SISTEMELOR DE ORIENTARE A PANOURILOR FOTOVOLTAICE

## 1.2. MODELAREA ȘI ANALIZA CU METODA ELEMENTULUI FINIT

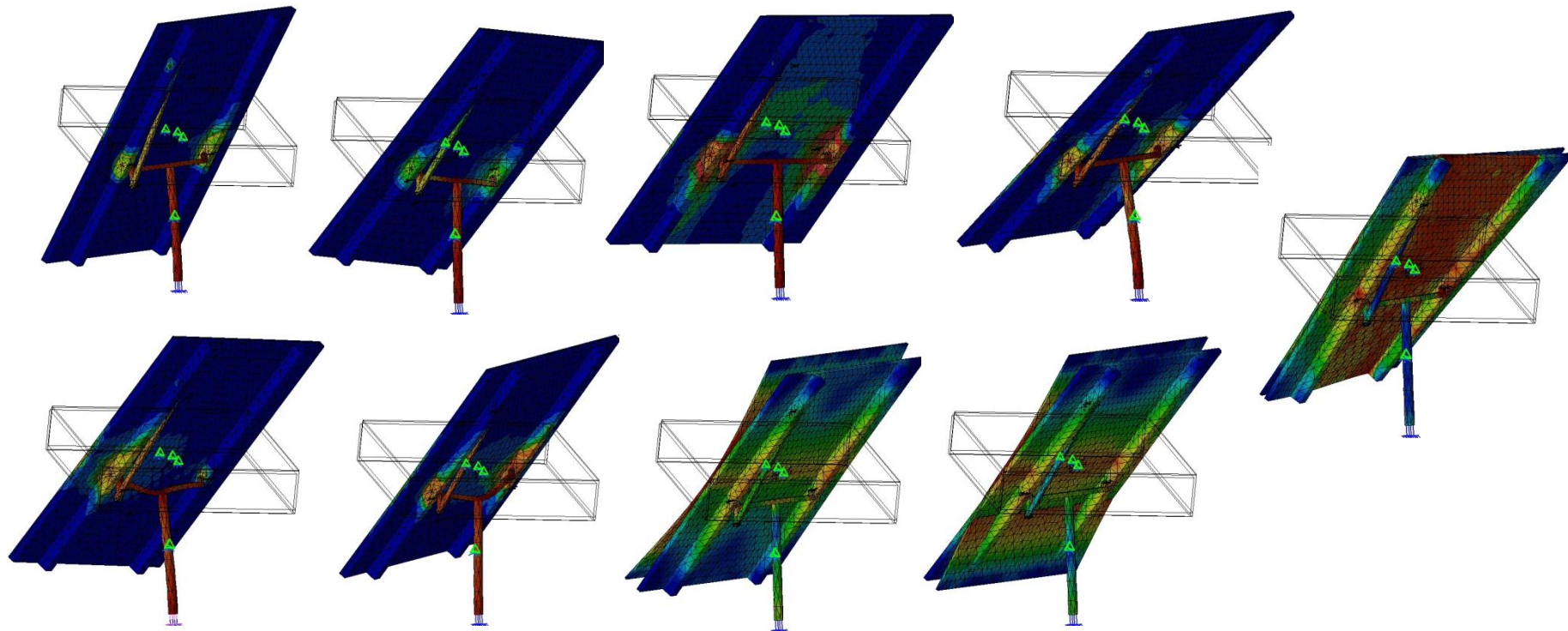


Fig.3. Analiza modală – moduri proprii de vibrație



# 1. MODELAREA ȘI ANALIZA FUNCȚIONALĂ A SISTEMELOR DE ORIENTARE A PANOURILOR FOTOVOLTAICE

## 1.2. MODELAREA ȘI ANALIZA CU METODA ELEMENTULUI FINIT

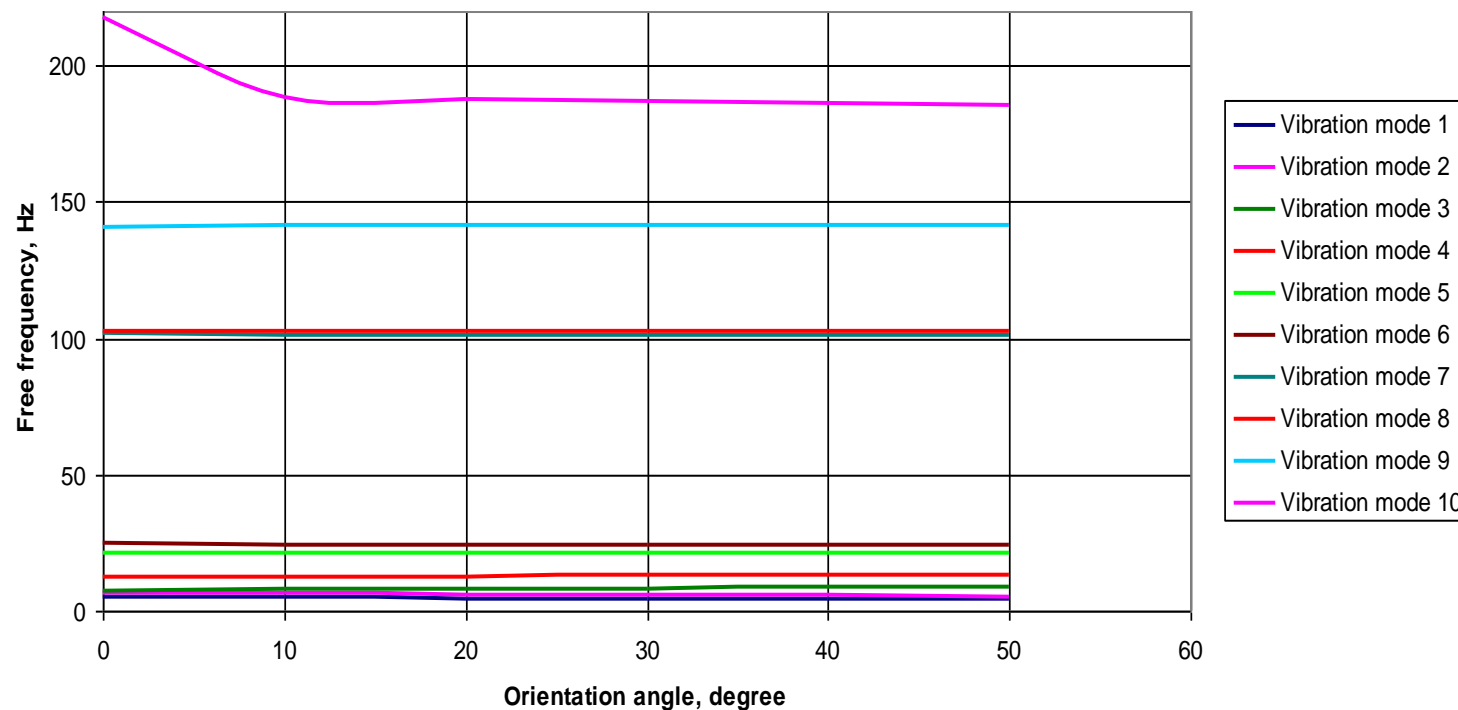


Fig.4. Analiza modală – frecvențe proprii de vibrație



# 1. MODELAREA ȘI ANALIZA FUNCȚIONALĂ A SISTEMELOR DE ORIENTARE A PANOURILOR FOTOVOLTAICE

## 1.3. MODELAREA SISTEMULUI DE CONTROL ȘI ANALIZA FUNCȚIONĂRII

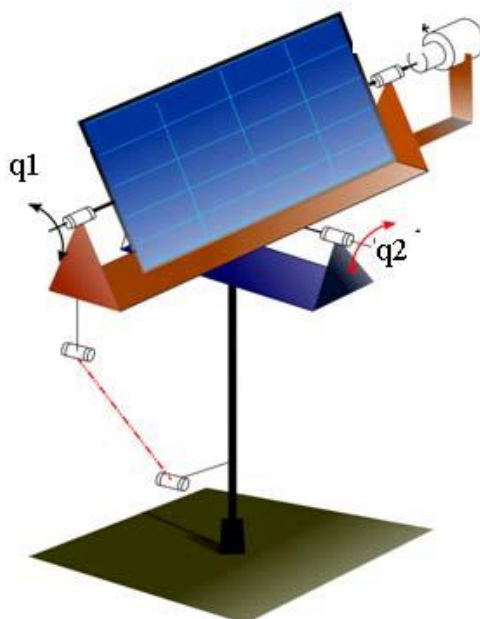


Fig.5. Sistem de orientare biaxial [1]

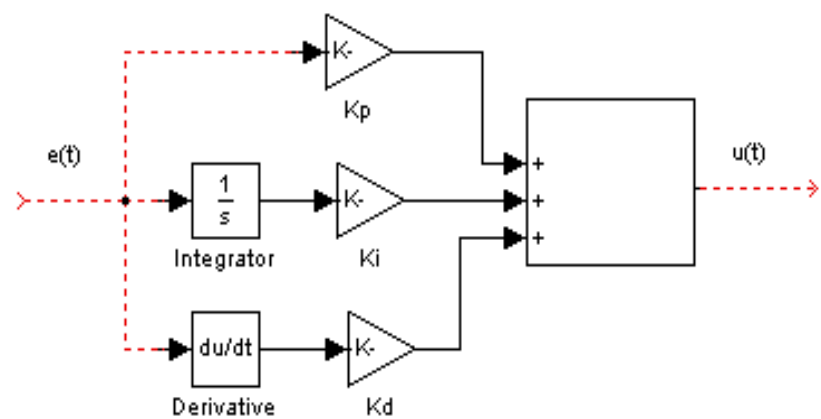


Fig.6. Sistem de control PID



# 1. MODELAREA ȘI ANALIZA FUNCȚIONALĂ A SISTEMELOR DE ORIENTARE A PANOURILOR FOTOVOLTAICE

## 1.3. MODELAREA SISTEMULUI DE CONTROL ȘI ANALIZA FUNCȚIONĂRII

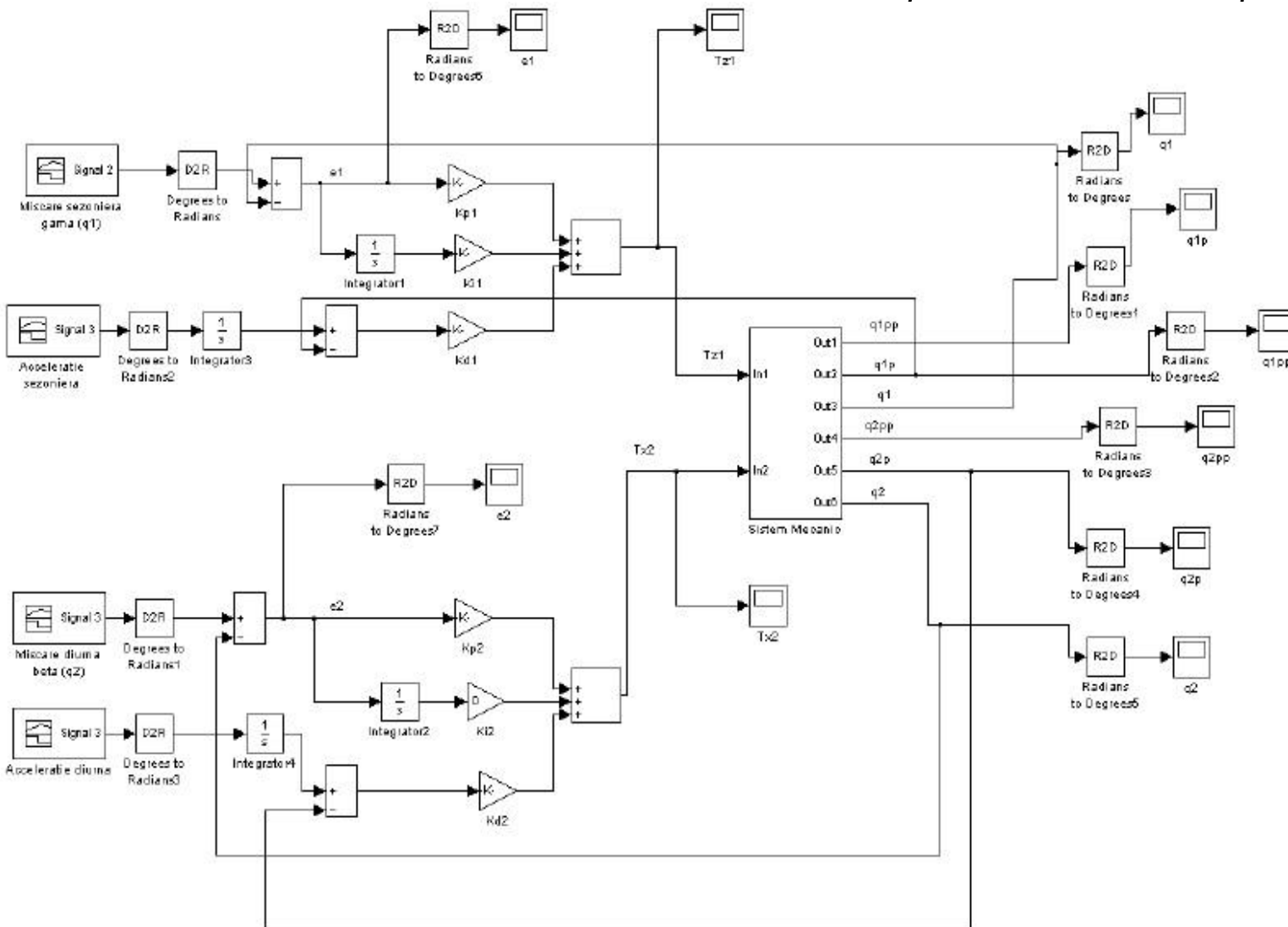


Fig.7. Schema de control a sistemului de orientare bimobil

# 1. MODELAREA ȘI ANALIZA FUNCȚIONALĂ A SISTEMELOR DE ORIENTARE A PANOURILOR FOTOVOLTÁICE

## 1.3. MODELAREA SISTEMULUI DE CONTROL ȘI ANALIZA FUNCȚIONĂRII

### ALEGEREA PARAMETRILOR DE ACORD $K_p$ , $K_d$ , $K_i$

- prin creșterea  $K_p$ , eroarea de poziție și perioada tranzitorie a răspunsului dinamic se reduc;
- $K_d$  generează un grup de răspunsuri dinamice care conduce la reducerea suprareglajului;
- $K_i$  generează un grup de răspunsuri dinamice și atenuează istoricul erorii (perioada tranzitorie și eroarea se reduc);



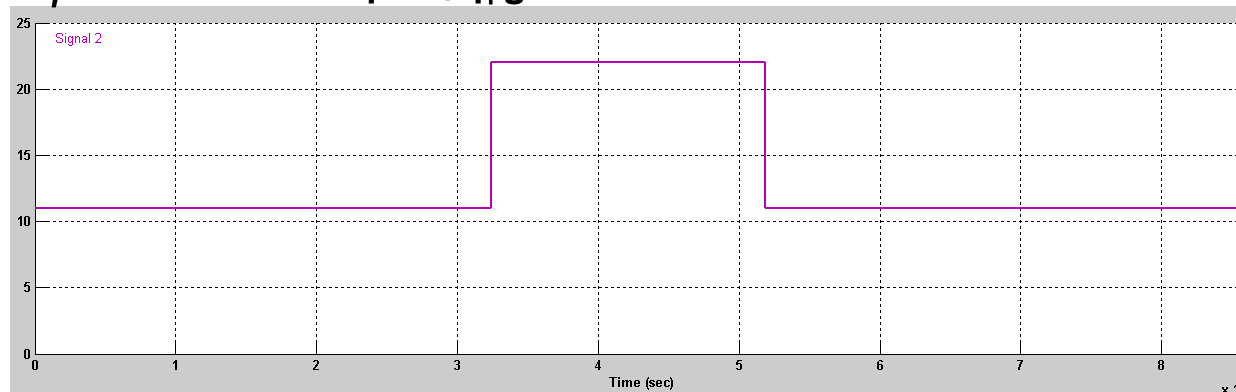
# 1. MODELAREA ȘI ANALIZA FUNCȚIONALĂ A SISTEMELOR DE ORIENTARE A PANOURILOR FOTOVOLTAICE



Universitatea  
Transilvania  
din Brașov

## 1.3. MODELAREA SISTEMULUI DE CONTROL ȘI ANALIZA FUNCȚIONĂRII

Mișcarea sezonieră impusă,  $q_1$  grade



Mișcarea sezonieră realizată,  $q_1$  grade

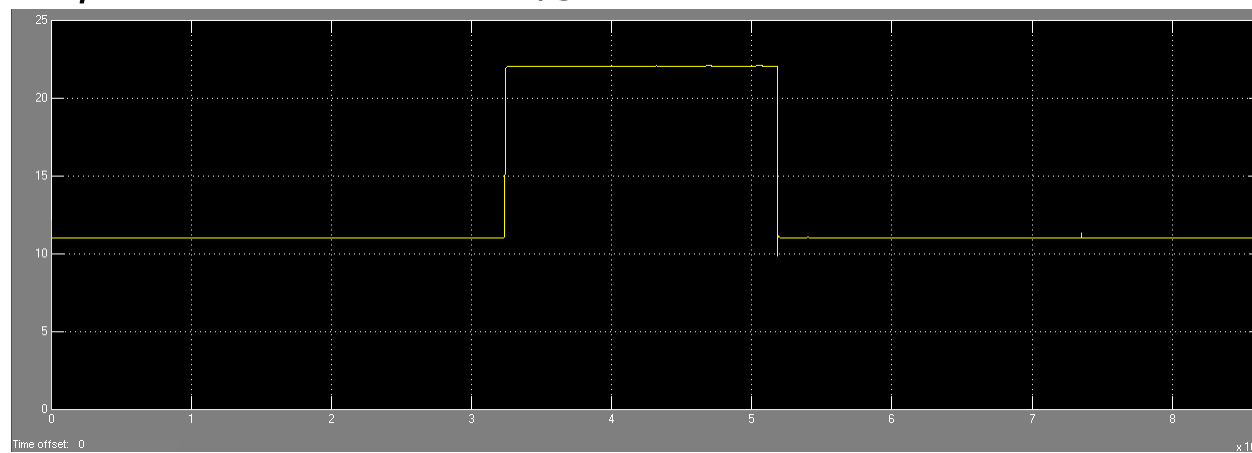


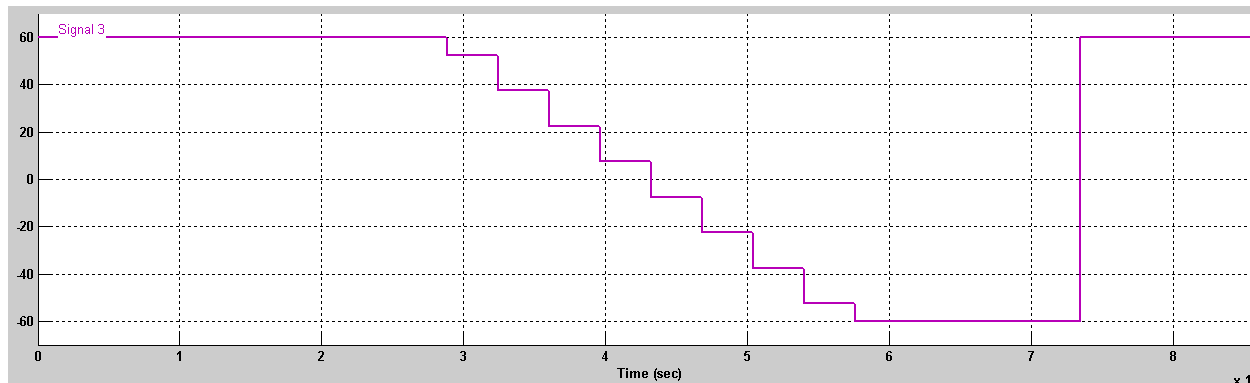
Fig.8. Mișcarea sezonieră



# 1. MODELAREA ȘI ANALIZA FUNCȚIONALĂ A SISTEMELOR DE ORIENTARE A PANOURILOR FOTOVOLTAICE

## 1.3. MODELAREA SISTEMULUI DE CONTROL ȘI ANALIZA FUNCȚIONĂRII

Mișcarea diurnă impusă,  $q_2$  grade



Mișcarea diurnă realizată,  $q_2$  grade

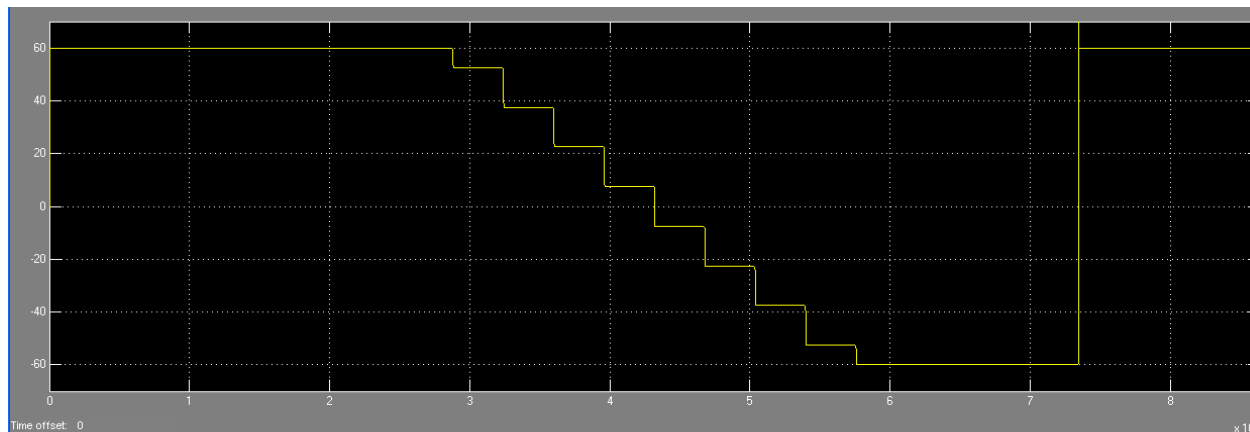


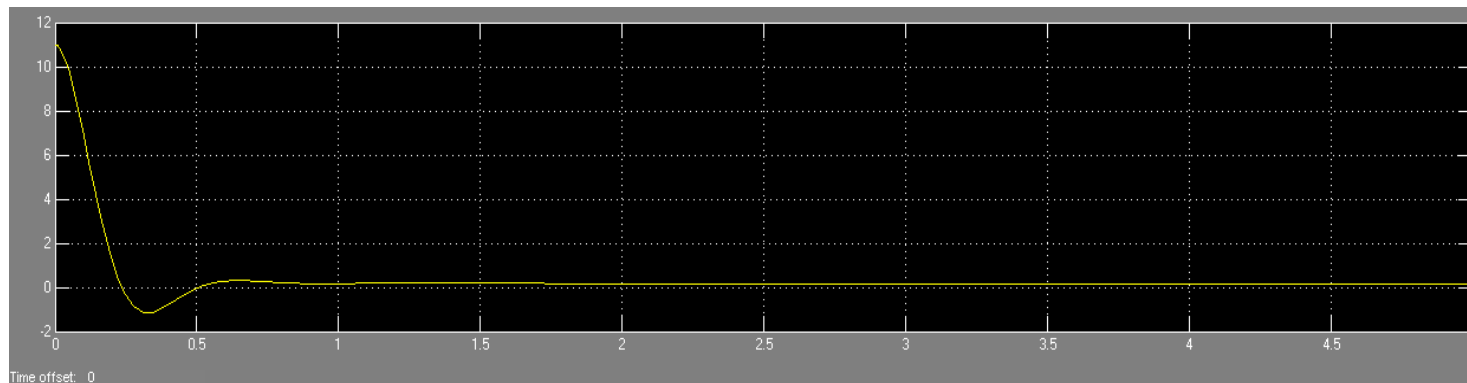
Fig.9. Mișcarea diurnă



# 1. MODELAREA ȘI ANALIZA FUNCȚIONALĂ A SISTEMELOR DE ORIENTARE A PANOURILOR FOTOVOLTAICE

## 1.3. MODELAREA SISTEMULUI DE CONTROL ȘI ANALIZA FUNCȚIONĂRII

Eroarea de poziție pentru mișcarea sezonieră  $e_1$ , grade



Eroarea de poziție pentru mișcarea diurnă  $e_2$ , grade

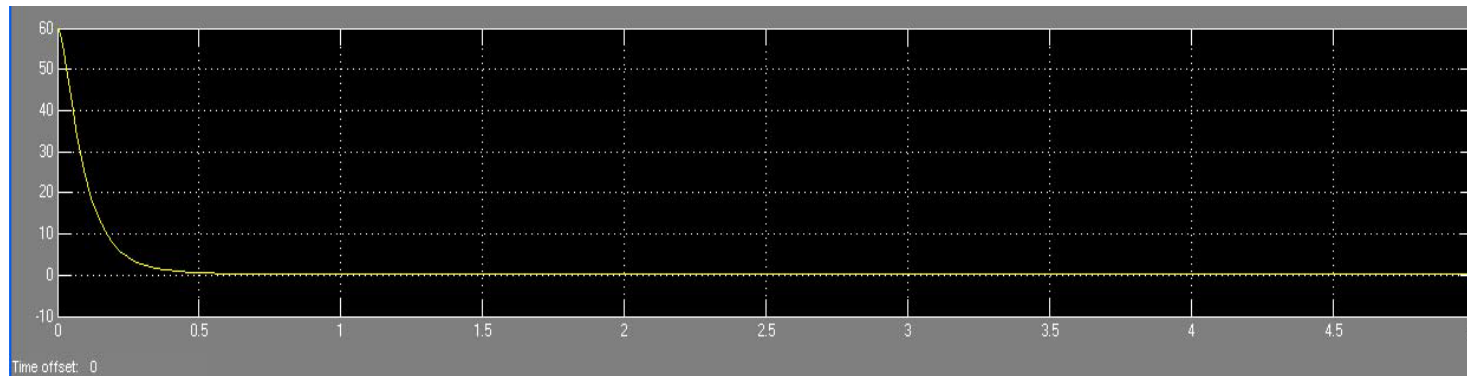


Fig.10. Eroarea de poziție





## **2. MODELAREA ȘI ANALIZA FUNCȚIONALĂ A SISTEMELOR DE ORIENTARE A CAPTATOARELOR SOLARE**

2.1. Elemente constructive

2.2. Modelarea sistemului de control și simularea funcționării



## 2. MODELAREA ȘI ANALIZA FUNCȚIONALĂ A SISTEMELOR DE ORIENTARE A CAPTATOARELOR SOLARE

### 2.1. ELEMENTE CONSTRUCTIVE

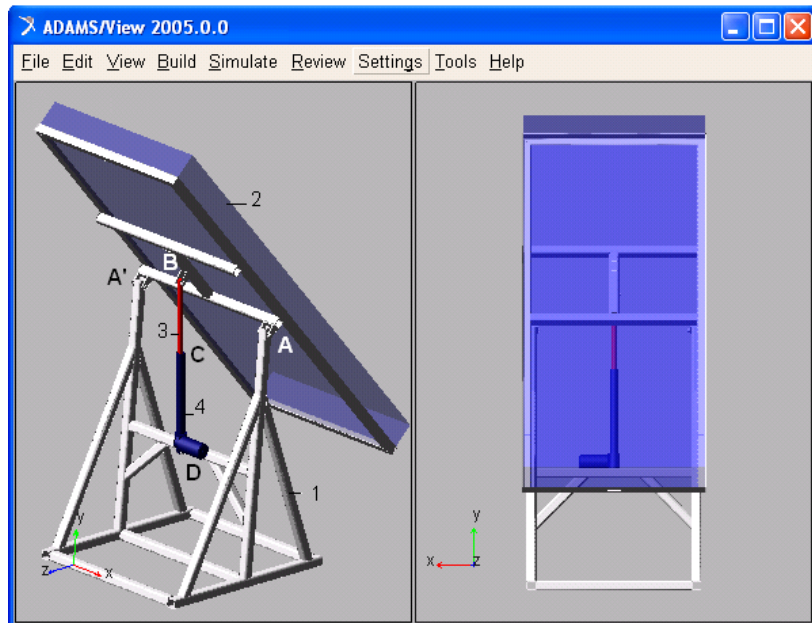


Fig.11. Sistem de orientare monomobil [2]



Fig.12. Captatoare solare [3, 4, 5]



## 2. MODELAREA ȘI ANALIZA FUNCȚIONALĂ A SISTEMELOR DE ORIENTARE A CAPTATOARELOR SOLARE

### 2.2. MODELAREA SISTEMULUI DE CONTROL ȘI ANALIZA FUNCȚIONĂRII

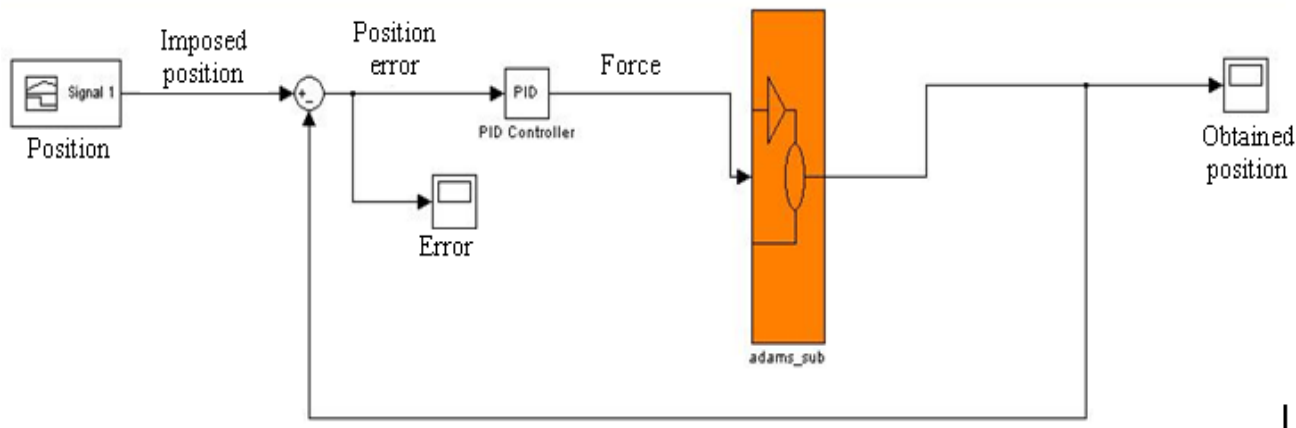


Fig.13. Schema de control a sistemului de orientare monomobil



## 2. MODELAREA ȘI ANALIZA FUNCȚIONALĂ A SISTEMELOR DE ORIENTARE A CAPTATOARELOR SOLARE

### 2.2. MODELAREA SISTEMULUI DE CONTROL ȘI ANALIZA FUNCȚIONĂRII

Mișcarea impusă la piston, m

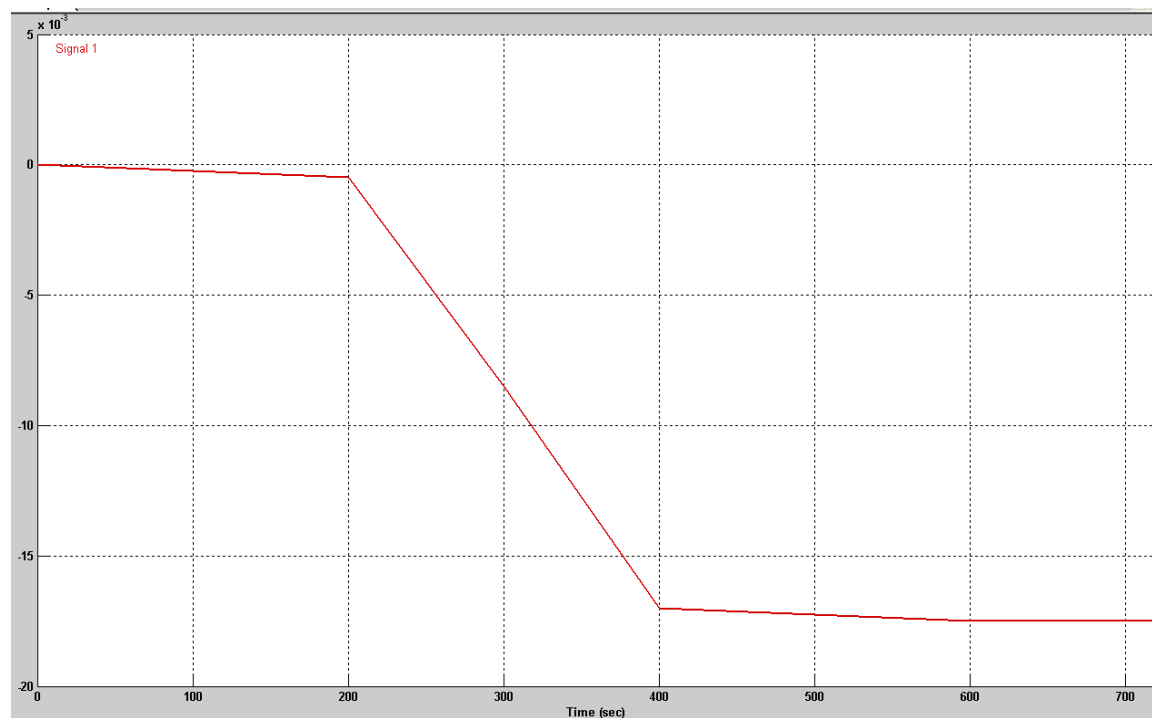


Fig.14. Mișcarea impusă



## 2. MODELAREA ȘI ANALIZA FUNCȚIONALĂ A SISTEMELOR DE ORIENTARE A CAPTATOARELOR SOLARE

### 2.2. MODELAREA SISTEMULUI DE CONTROL ȘI ANALIZA FUNCȚIONĂRII

Eroarea de poziție la piston, pentru captatorul plat, m

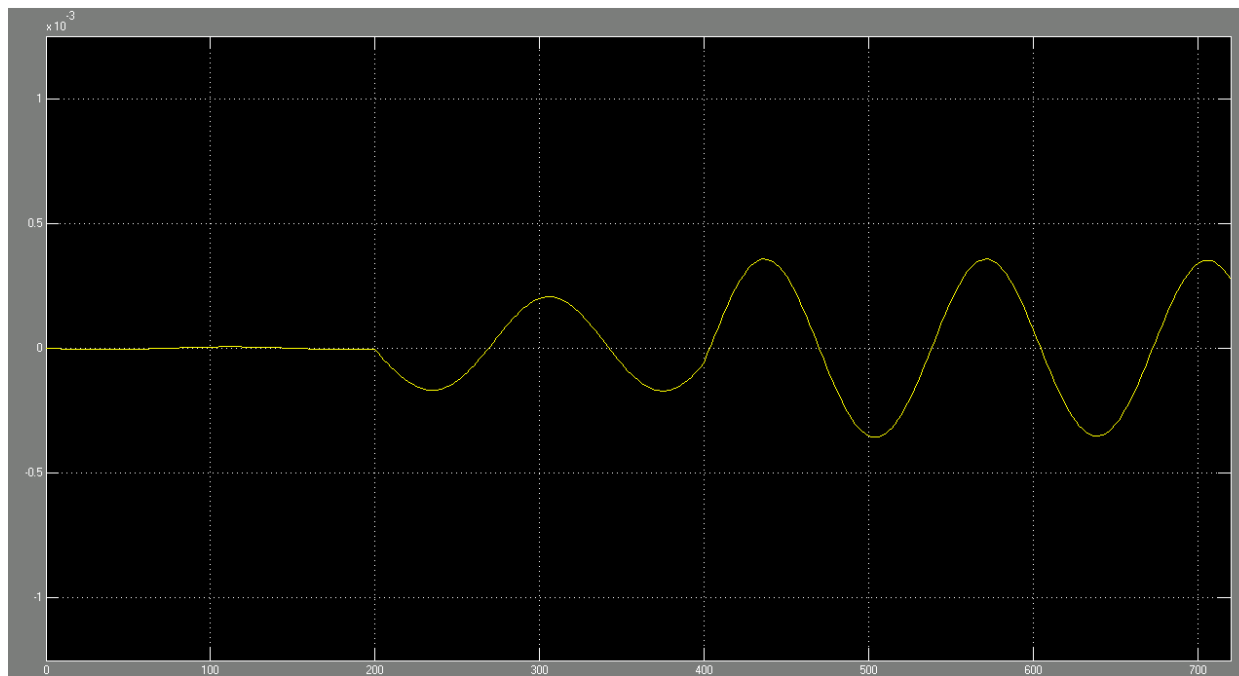


Fig.15. Eroarea de poziție pentru captatorul plat



## 2. MODELAREA ȘI ANALIZA FUNCȚIONALĂ A SISTEMELOR DE ORIENTARE A CAPTATOARELOR SOLARE

### 2.2. MODELAREA SISTEMULUI DE CONTROL ȘI ANALIZA FUNCȚIONĂRII

Eroarea de poziție la piston, pentru captatorul de tip farfurie, m

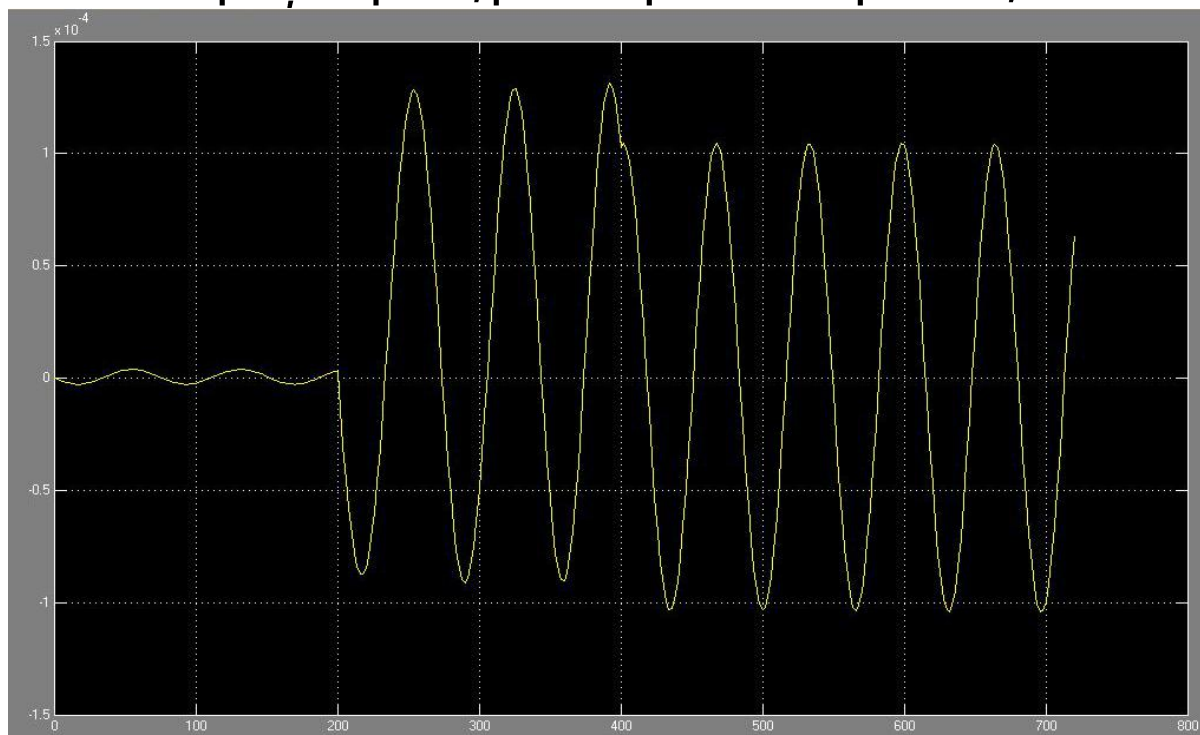


Fig.16. Eroarea de poziție pentru captatorul de tip farfurie



## 2. MODELAREA ȘI ANALIZA FUNCȚIONALĂ A SISTEMELOR DE ORIENTARE A CAPTATOARELOR SOLARE

### 2.2. MODELAREA SISTEMULUI DE CONTROL ȘI ANALIZA FUNCȚIONĂRII

Eroarea de poziție la piston pentru captatorul de tip jgheab, m

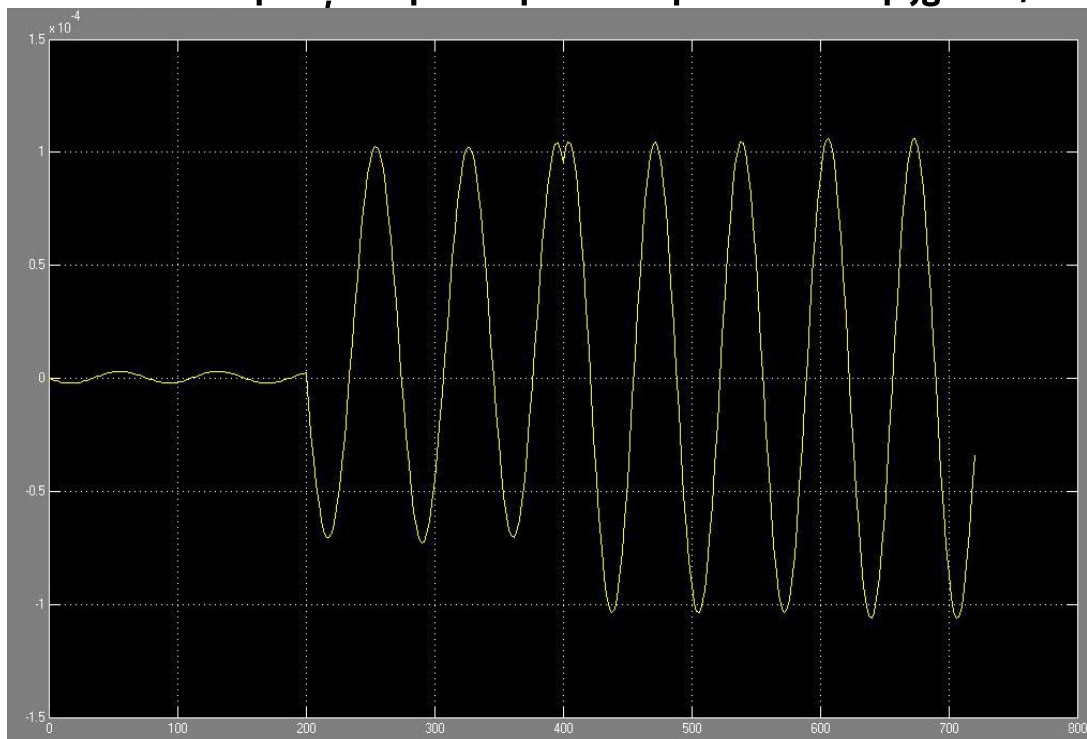


Fig.17. Eroarea de poziție pentru captatorul de tip jgheab



### 3. CONCLUZII

Creșterea eficienței sistemelor de orientare s-a realizat prin:

- Identificarea unor soluții constructive caracterizate de gabarite reduse, a căror rezistență a fost confirmată prin analiza cu MEF  $\Rightarrow$  economie de material.
- Modelarea unor sisteme de control care să confere perioade tranzitorii și suprareglaje mici în condițiile unor erori reduse  $\Rightarrow$  economie de energie.



# **REALIZĂRI ȘTIINȚIFICE ȘI PROFESIONALE**

## **II. CERCETĂRI ASUPRA ASPECTELOR FUNCȚIONAL-CONSTRUCTIVE ALE TRANSMISIILOR MECANICE**

### **1. ANALIZA FUNCȚIONALĂ A RULMENTILOR**

### **2. ANALIZA FUNCȚIONAL-CONSTRUCTIVĂ A TRANSMISIILOR PRIN CURELE TRAPEZOIDALE**



### **3. ANALIZA FUNCȚIONAL-CONSTRUCTIVĂ A TRANSMISIILOR PRIN LANȚ**

### **4. STUDIUL FRECĂRII ÎNTRE CUPLURILE DE MATERIALE OȚEL/POLIAMIDĂ**



### **5. CONCLUZII**



Universitatea  
Transilvania  
din Brașov





## **1. ANALIZA FUNCȚIONALĂ A RULMENTILOR**

1.1. Determinarea momentului de frecare din rulmenți

1.2. Determinarea presiunilor locale de contact



# 1. ANALIZA FUNCȚIONALĂ A RULMENTILOR

## 1.1. DETERMINAREA MOMENTULUI DE FRECARE DIN RULMENTI

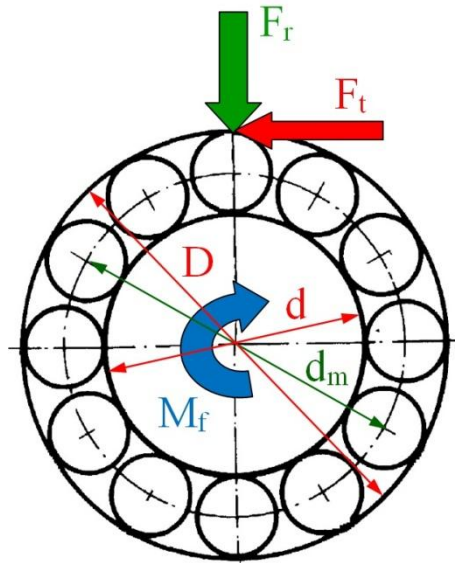


Fig.18. Schema de încărcare a rulmentului

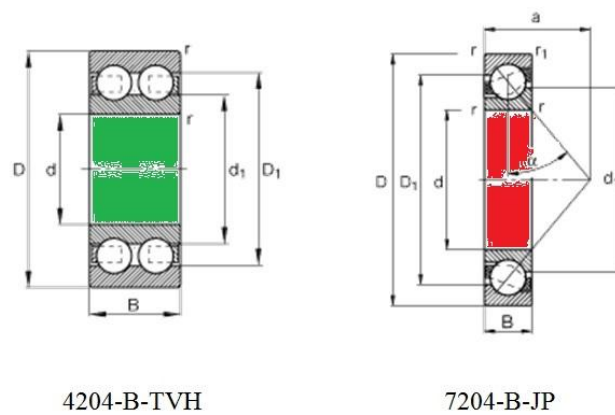
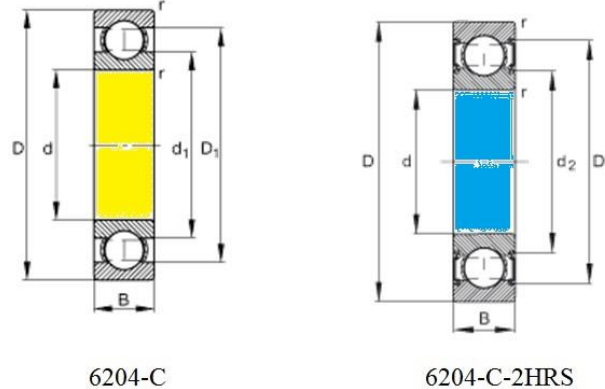


Fig.19. Rulmenți testați



# 1. ANALIZA FUNCȚIONALĂ A RULMENTILOR

## 1.1. DETERMINAREA MOMENTULUI DE FRECARE DIN RULMENTI

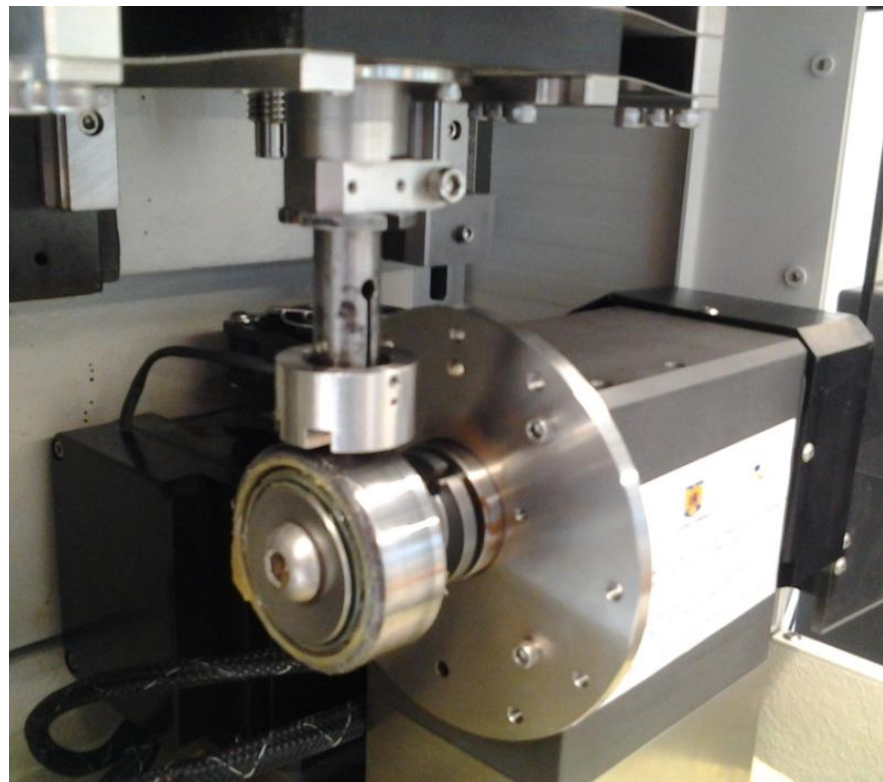
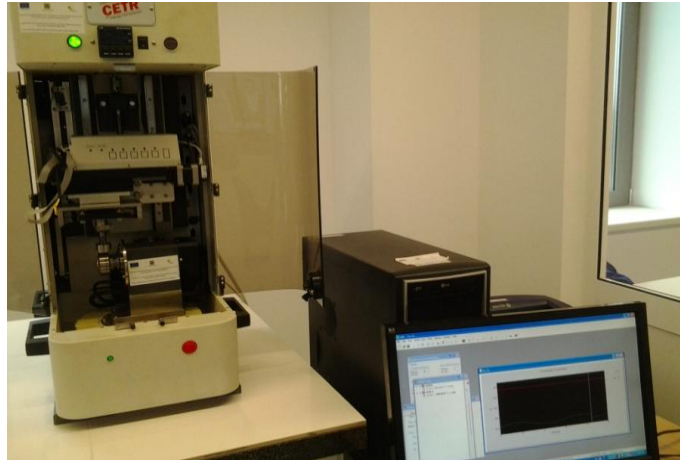


Fig.20. Sistemul de testare

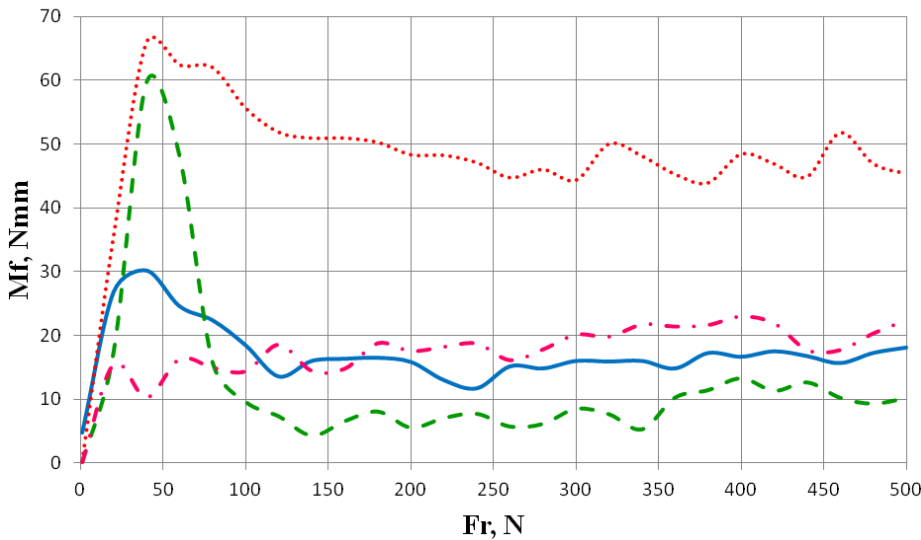


# 1. ANALIZA FUNCȚIONALĂ A RULMENTILOR

## 1.1. DETERMINAREA MOMENTULUI DE FRECARE DIN RULMENTI

$n=2000$  rot/min

— 6204    ..... 6204 Seal    - - - 4204    - · - 7204



$F=50$  N

— 6204    ..... 6204 Seal    - - - 4204    - · - 7204

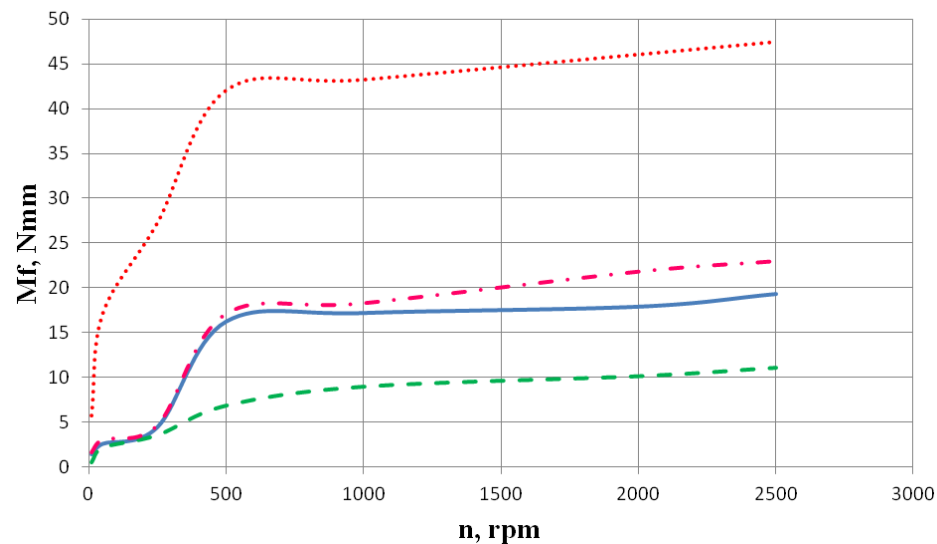


Fig.21. Variația momentului de frecare



## 1. ANALIZA FUNCȚIONALĂ A RULMENTILOR

### 1.2. DETERMINAREA PRESIUNILOR LOCALE DE CONTACT

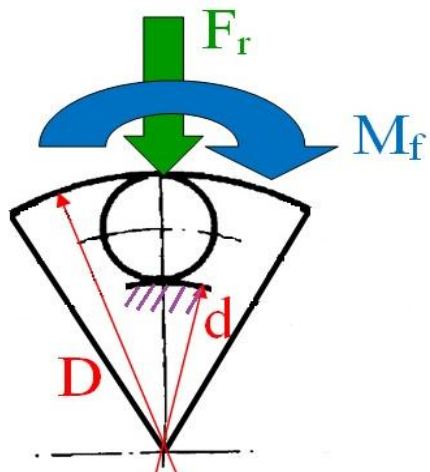


Fig.22. Modelul de încărcare

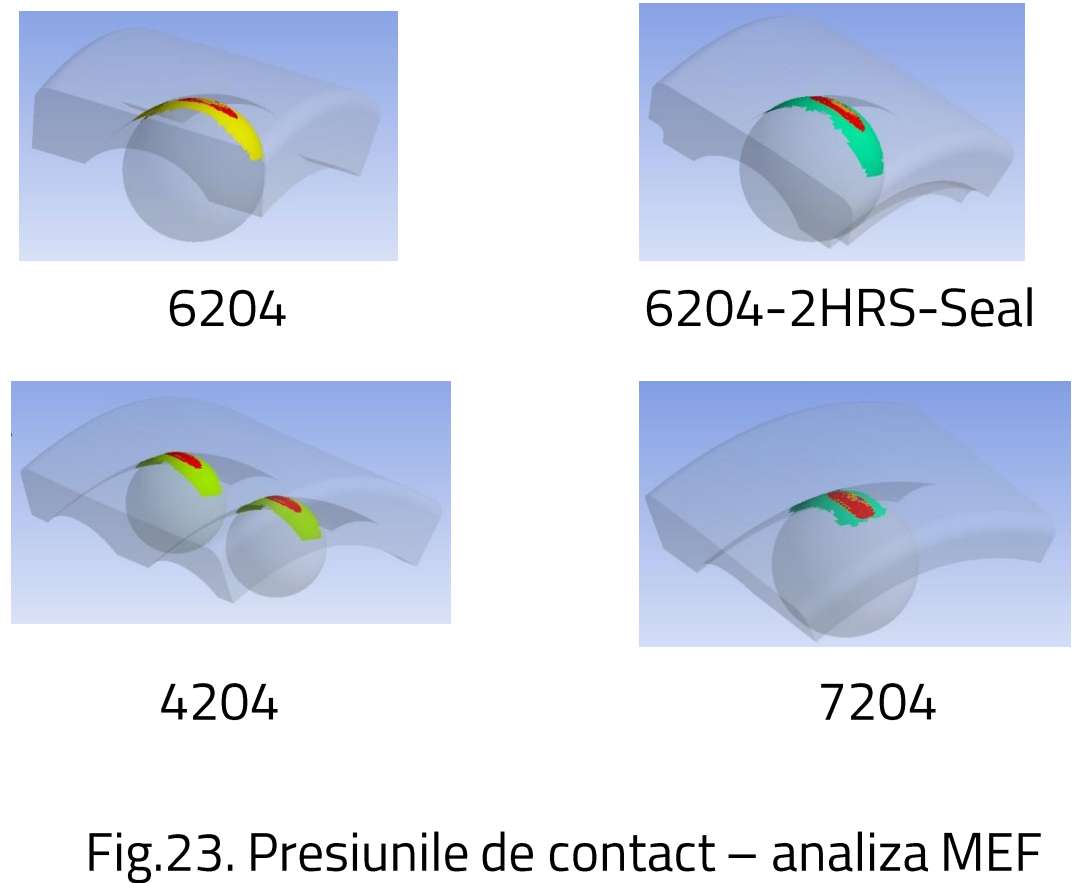


Fig.23. Presiunile de contact – analiza MEF



# 1. ANALIZA FUNCȚIONALĂ A RULMENTILOR

## 1.2. DETERMINAREA PRESIUNILOR LOCALE DE CONTACT

— 6204    ⋅··· 6204 Seal    - - 4204    - ·- 7204

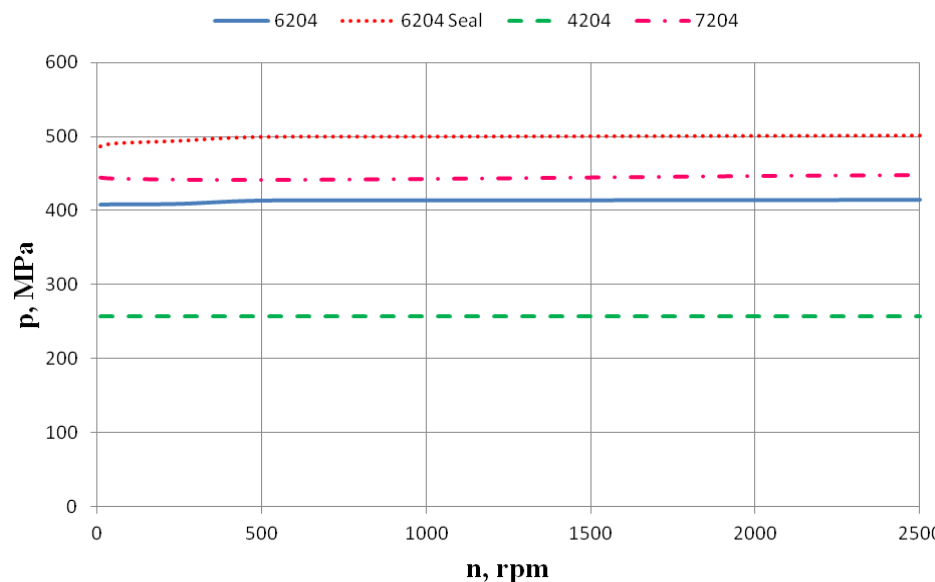
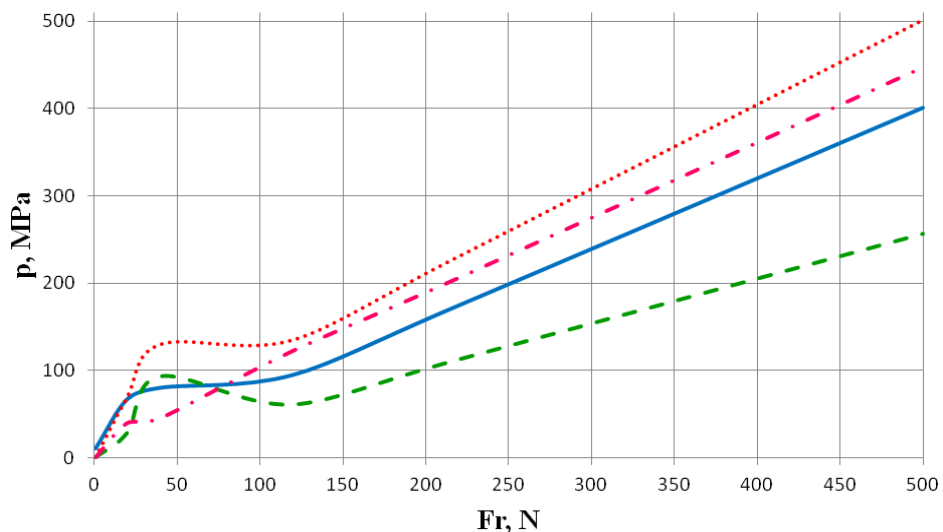


Fig.24. Variația presiunilor de contact





## **2. ANALIZA FUNCȚIONAL-CONSTRUCTIVĂ A TRANSMISIILOR PRIN CURELE TRAPEZOIDALE**

2.1. Elemente constructive și de exploatare

2.2. Determinarea tensiunilor din curea



## 2. ANALIZA FUNCȚIONAL-CONSTRUCTIVĂ A TRANSMISIILOR PRIN CURELE TRAPEZOIDALE

### 2.1. ELEMENTE CONSTRUCTIVE ȘI DE EXPLOATARE

#### ■ Date de intrare:

- Puterea de transmis
- Turația la intrare
- Turația la ieșire
- Mașina de lucru
- Regimul de lucru

#### ■ Date de ieșire:

- Distanța dintre axe
- Numărul de curele

⇒ *Soluția constructivă a transmisiei prin curele*



## 2. ANALIZA FUNCȚIONAL-CONSTRUCTIVĂ A TRANSMISIILOR PRIN CURELE TRAPEZOIDALE

### 2.1. ELEMENTE CONSTRUCTIVE ȘI DE EXPLOATARE

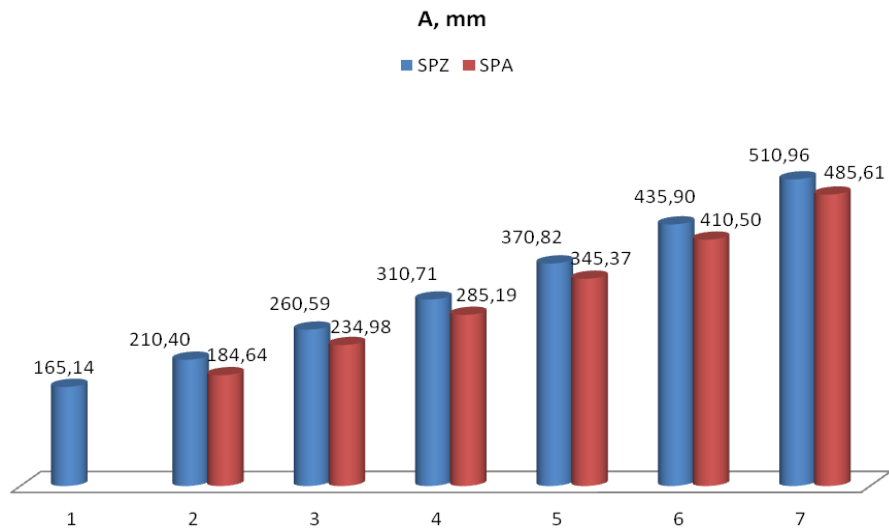


Fig.25. Variante ale distanței dintre axe

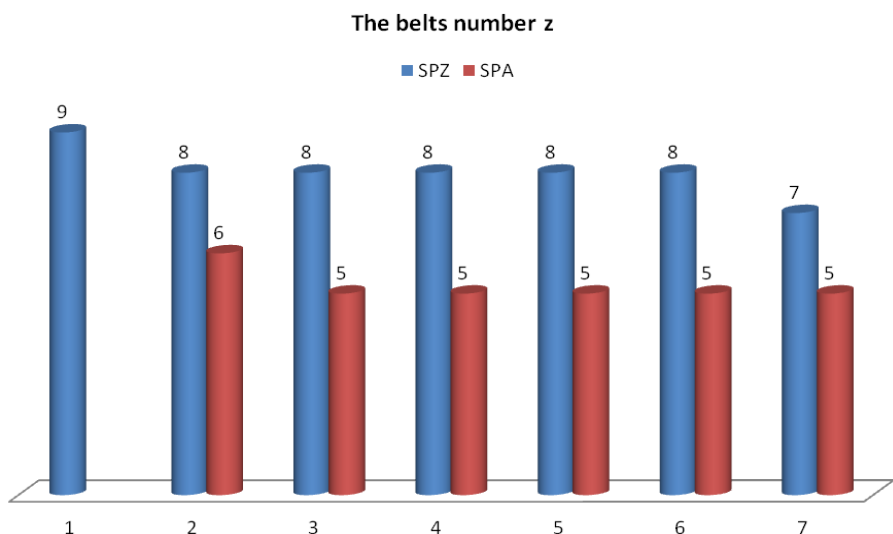
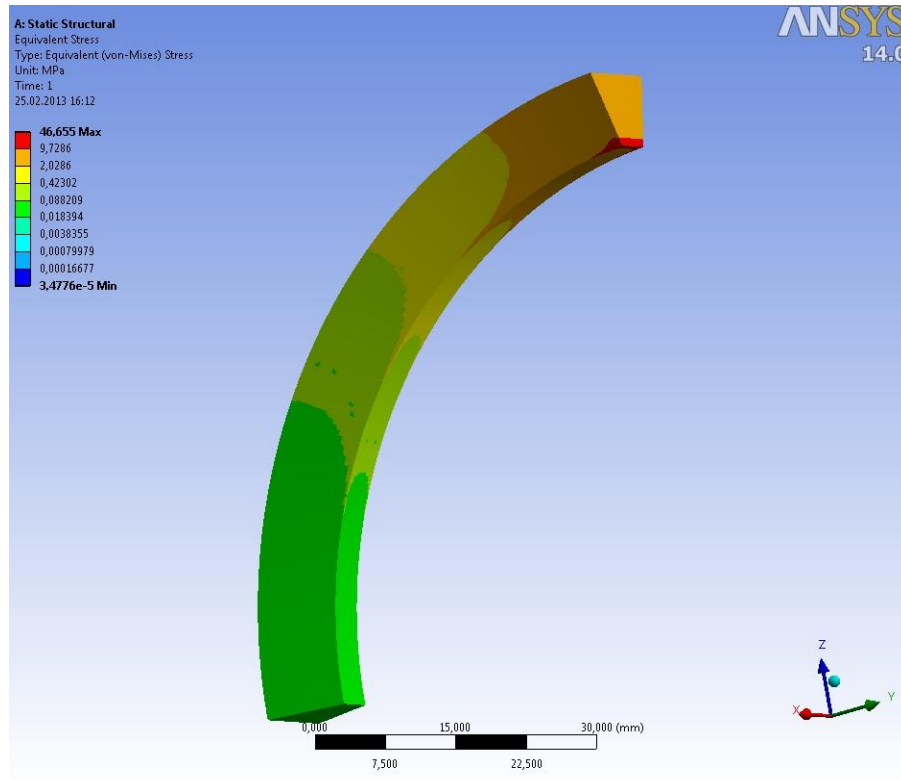


Fig.26. Variante ale numărului de curele

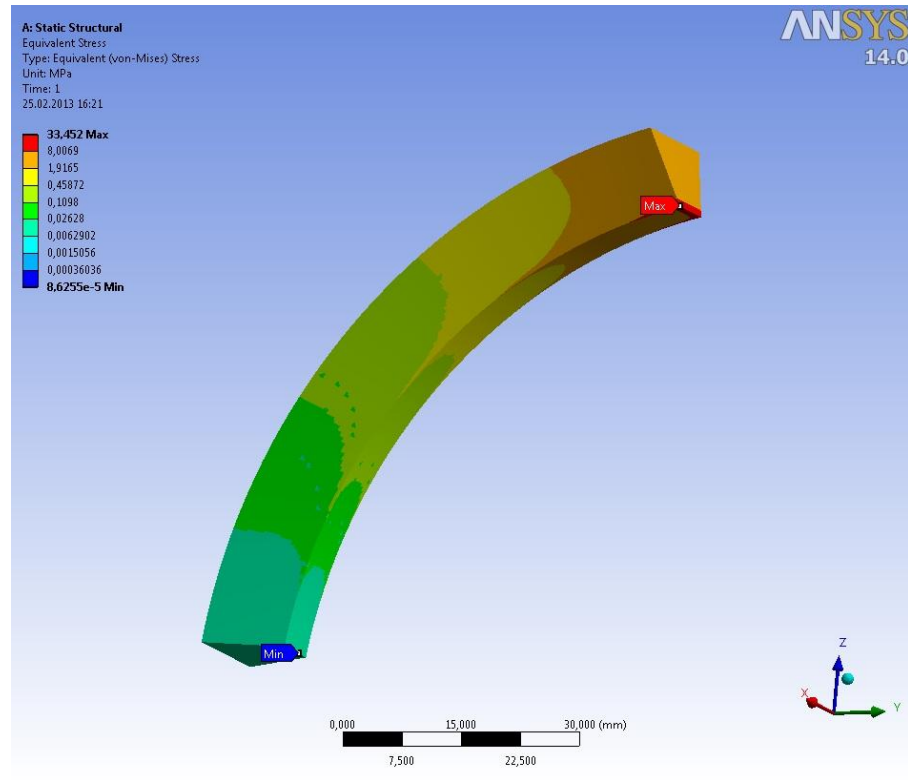


## 2. ANALIZA FUNCȚIONAL-CONSTRUCTIVĂ A TRANSMISIILOR PRIN CURELE TRAPEZOIDALE

### 2.1. DETERMINAREA TENSIUNILOR DIN CUREA



Curea SPZ



Curea SPA

Fig.27. Tensiunea echivalentă – analiza MEF





### **3. ANALIZA FUNCȚIONAL-CONSTRUCTIVĂ A TRANSMISIILOR PRIN LANȚ**

3.1. Analiza constructivă

3.2. Determinarea presiunilor locale de contact

3.3. Modelarea tribologică a distribuției forțelor normale pe eclise

3.4. Determinarea parametrilor de material pentru poliamidă

3.5. Studiul fenomenului de frecare din contactul patină/eclisă



### **3. ANALIZA FUNCȚIONAL-CONSTRUCTIVĂ A TRANSMISIILOR PRIN LANȚ**

#### **3.1. ANALIZA CONSTRUCTIVĂ**

##### **■ Date de intrare:**

- Puterea de transmis
- Turația la intrare
- Raportul de transmitere
- Mașina de lucru
- Regimul de lucru

##### **■ Date de ieșire:**

- Pasul
- Puterea utilă

⇒ *Soluția constructivă a transmisiei prin lanț*



### 3. ANALIZA FUNCȚIONAL-CONSTRUCTIVĂ A TRANSMISIILOR PRIN LANȚ

#### 3.1. ANALIZA CONSTRUCTIVĂ

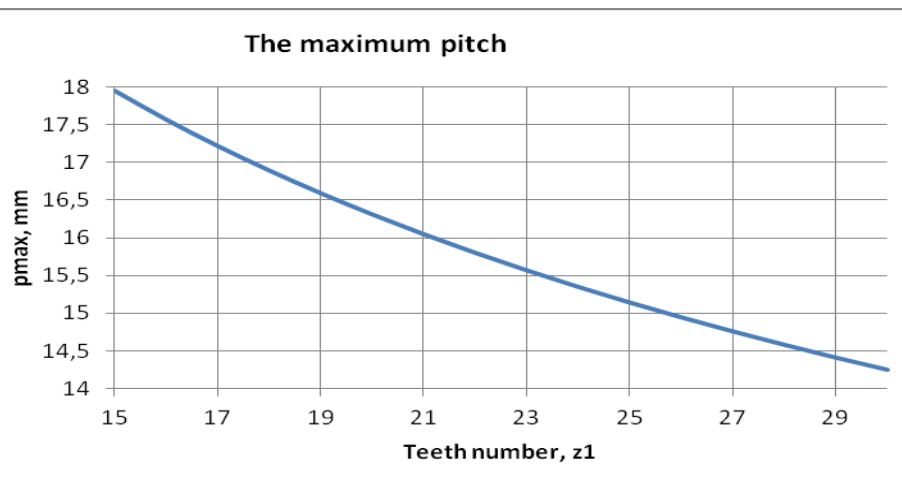


Fig.28. Variatia pasului maxim cu numarul de dinti

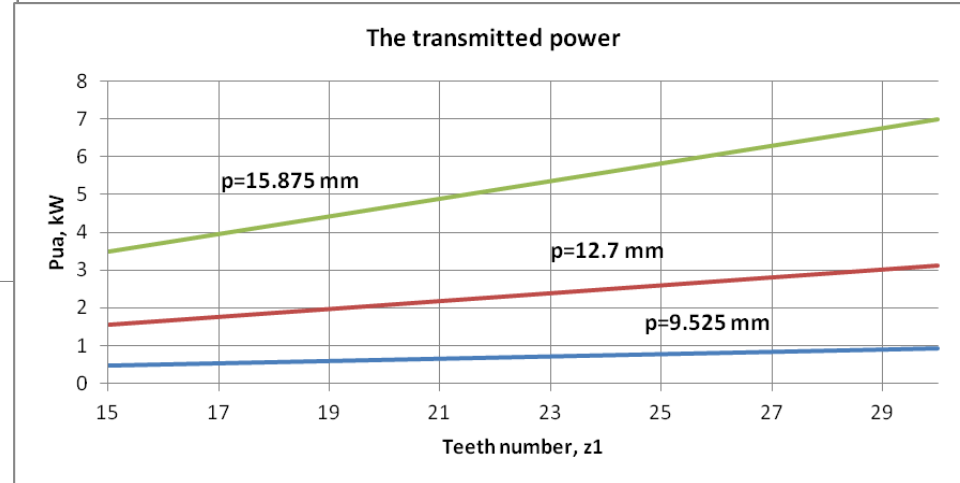


Fig.29. Variatia puterii utile cu numarul de dinti



### 3. ANALIZA FUNCȚIONAL-CONSTRUCTIVĂ A TRANSMISIILOR PRIN LANȚ

#### 3.2. DETERMINAREA PRESIUNILOR LOCALE DE CONTACT

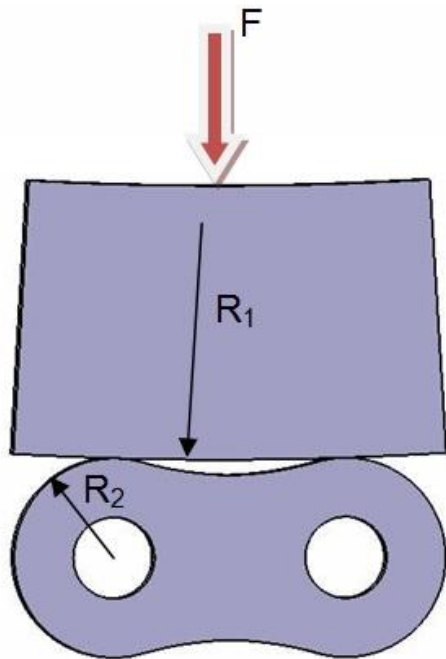


Fig.30. Modelul încărcării

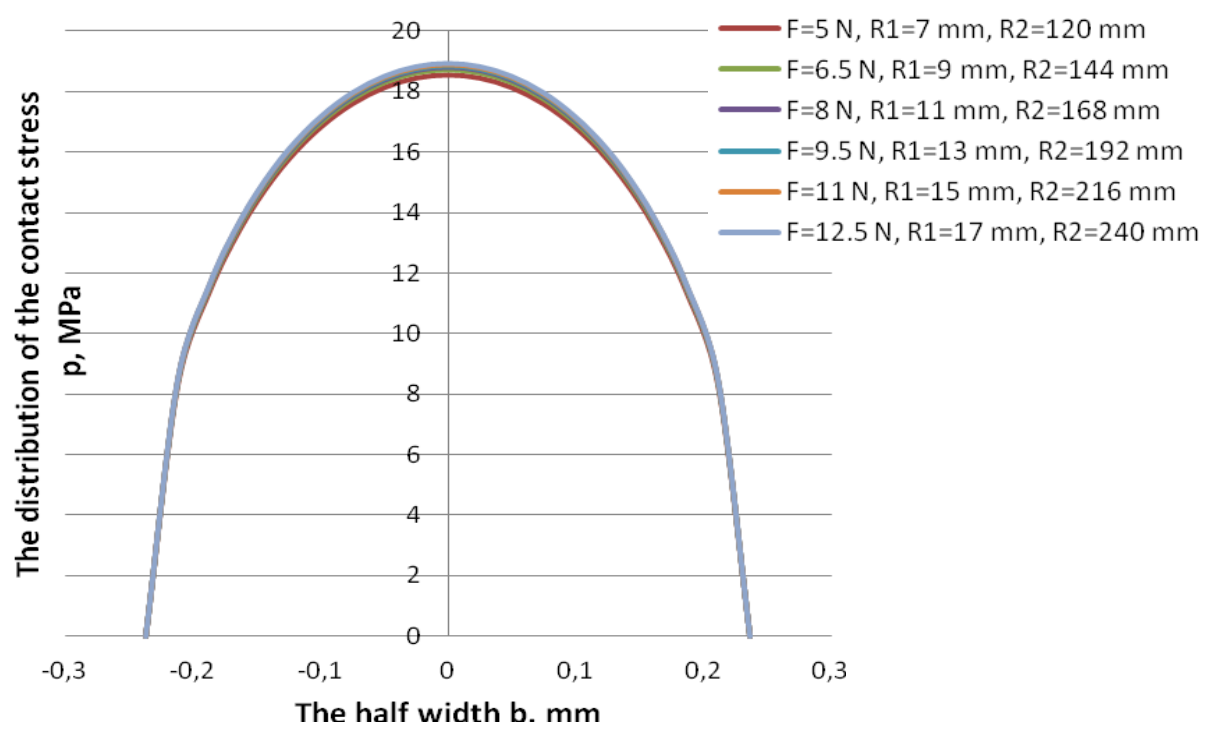


Fig.31. Distribuția presiunii de contact



### 3. ANALIZA FUNCȚIONAL-CONSTRUCTIVĂ A TRANSMISIILOR PRIN LANȚ

#### 3.2. DETERMINAREA PRESIUNILOR LOCALE DE CONTACT

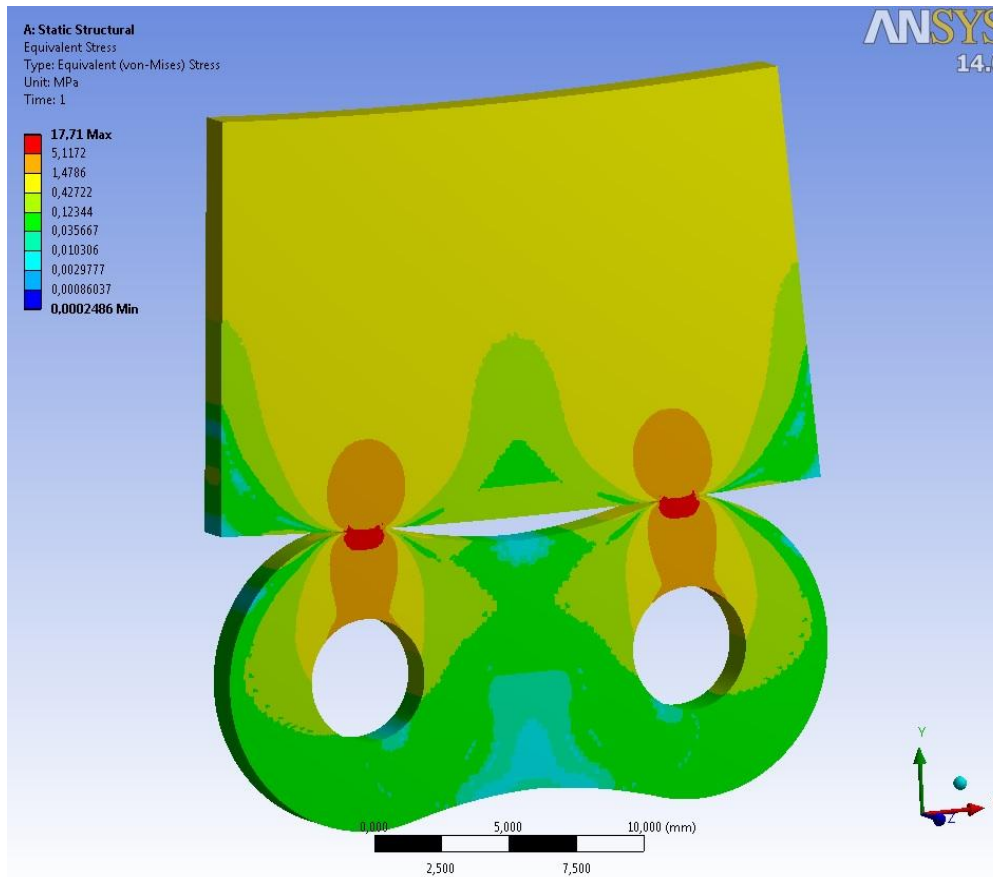


Fig.32. Tensiunea echivalentă – analiza MEF



### 3. ANALIZA FUNCȚIONAL-CONSTRUCTIVĂ A TRANSMISIILOR PRIN LANȚ

#### 3.3. MODELAREA TRIBOLOGICĂ A DISTRIBUȚIEI FORȚELOR NORMALE PE ECLISE

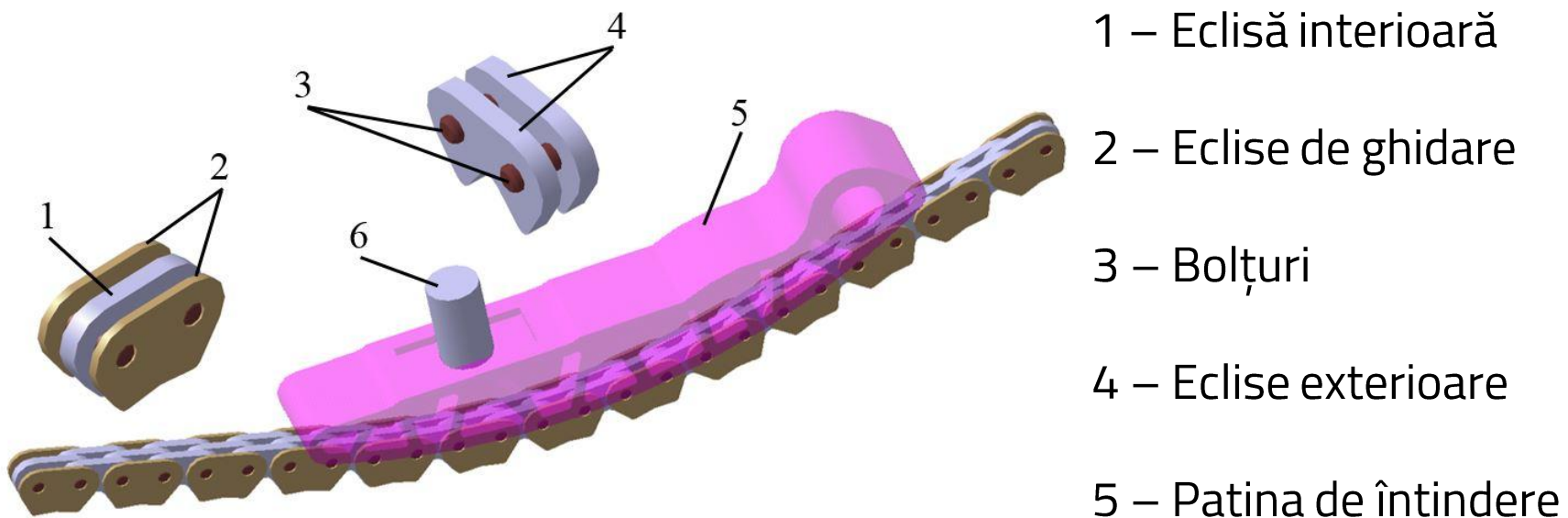


Fig.33. Subansamblul lanț-patină



### 3. ANALIZA FUNCȚIONAL-CONSTRUCTIVĂ A TRANSMISIILOR PRIN LANT

#### 3.3. MODELAREA TRIBOLOGICĂ A DISTRIBUȚIEI FORȚELOR NORMALE PE ECLISE

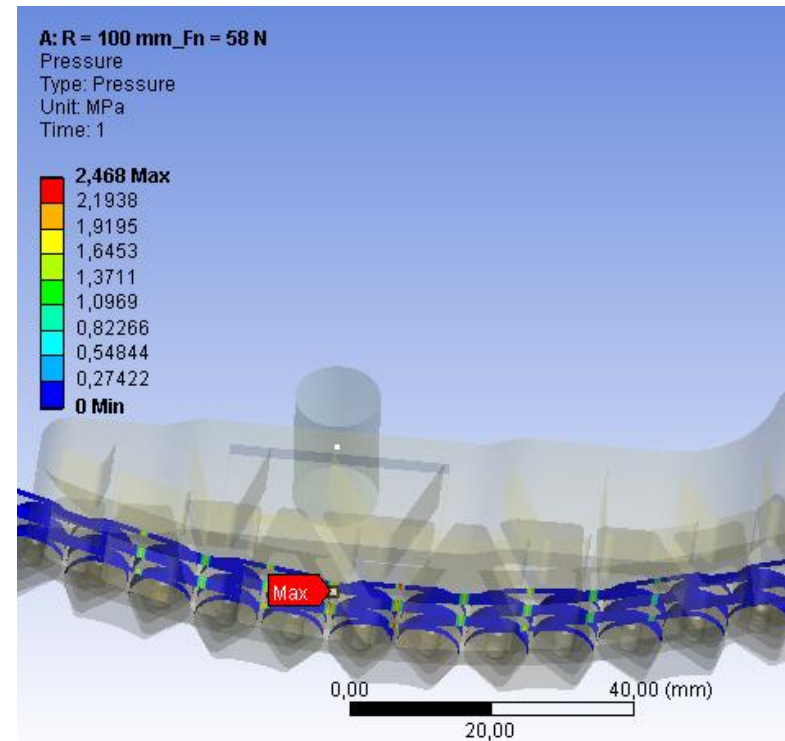
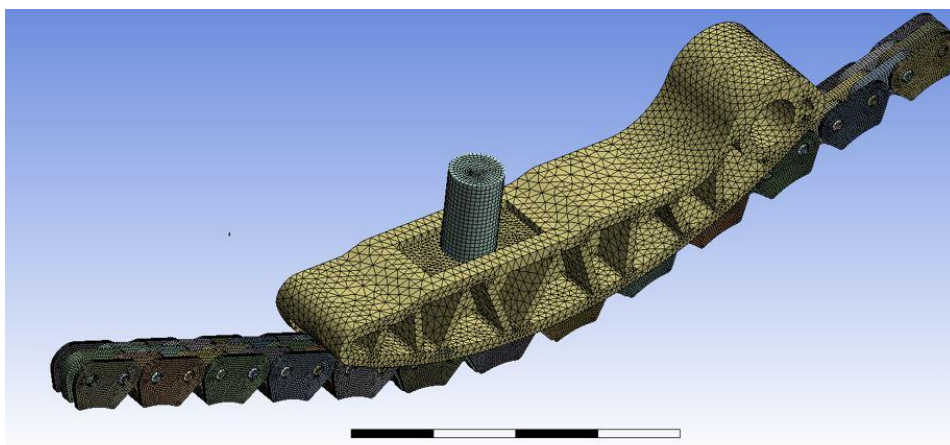


Fig.34. Modelul și analiza MEF

### 3. ANALIZA FUNCȚIONAL-CONSTRUCTIVĂ A TRANSMISIILOR PRIN LANT

#### 3.3. MODELAREA TRIBOLOGICĂ A DISTRIBUȚIEI FORȚELOR NORMALE PE ECLISE

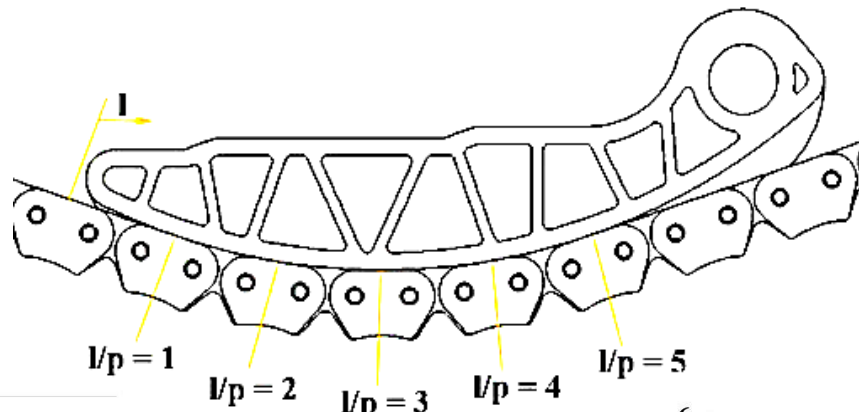


Fig.35. Zona de citire

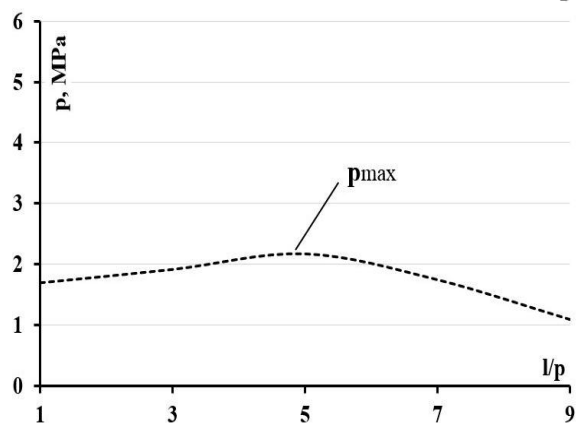


Fig.36. Eclise interioare

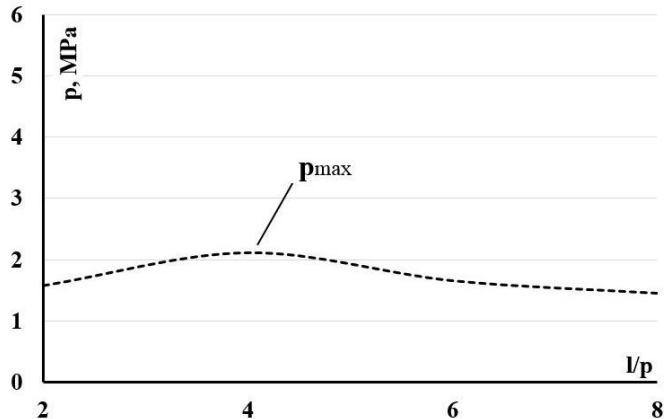


Fig.37. Eclise exterioare

### 3. ANALIZA FUNCȚIONAL-CONSTRUCTIVĂ A TRANSMISIILOR PRIN LANȚ

#### 3.3. MODELAREA TRIBOLOGICĂ A DISTRIBUȚIEI FORȚELOR NORMALE PE ECLISE

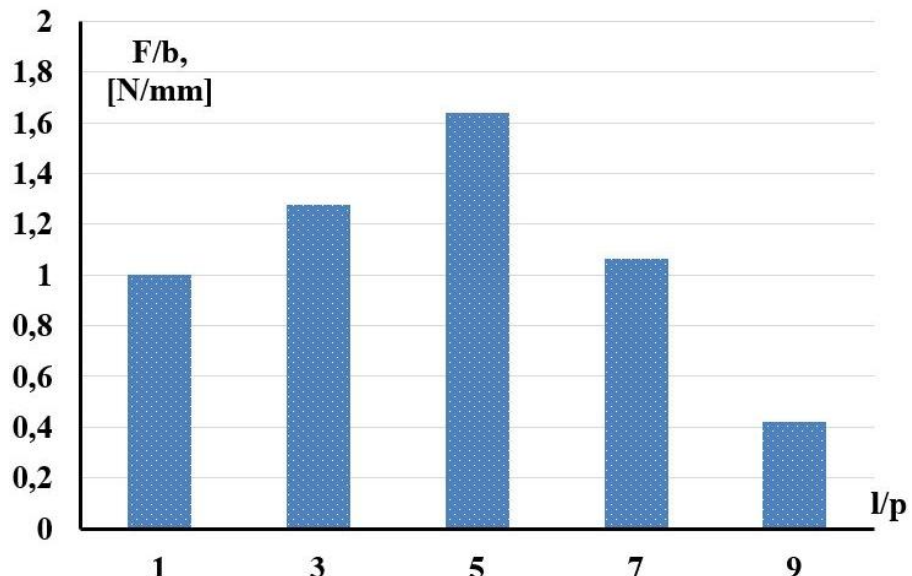


Fig.38. Eclise interioare

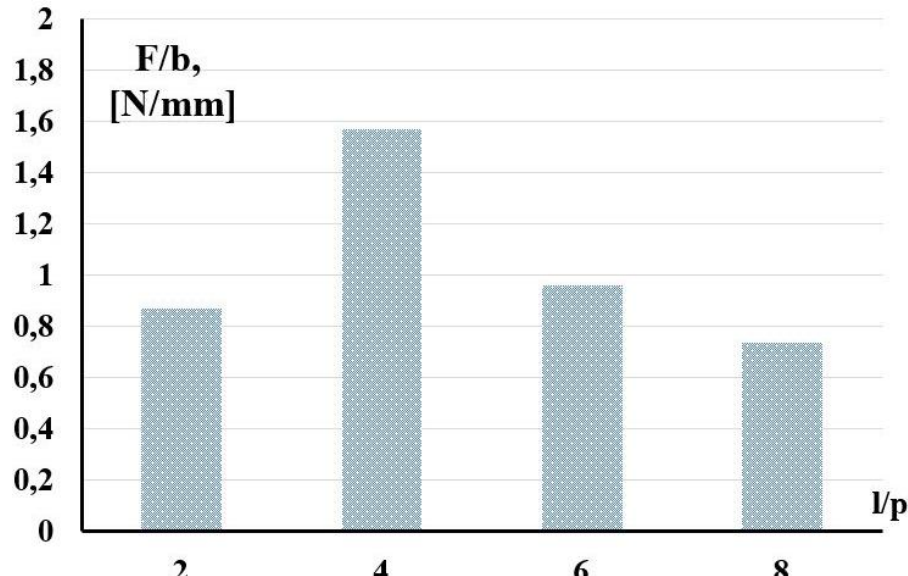
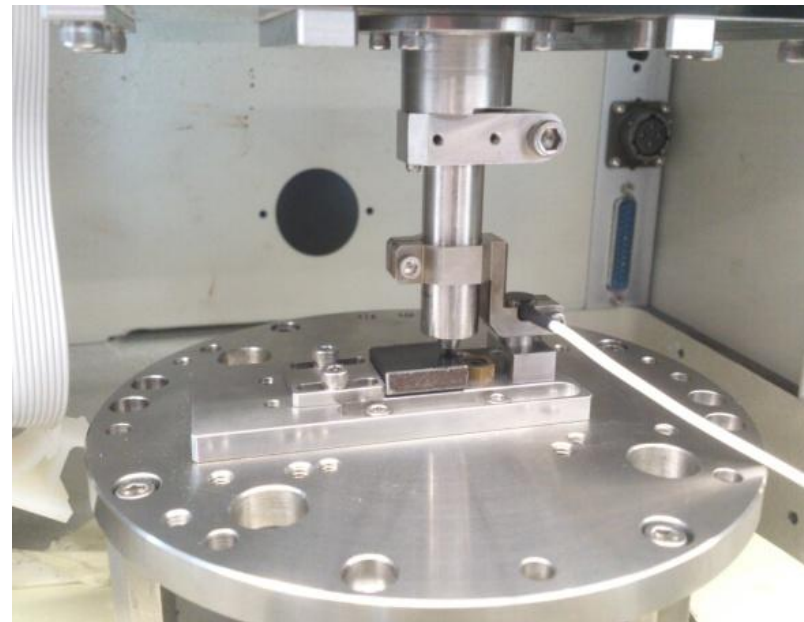
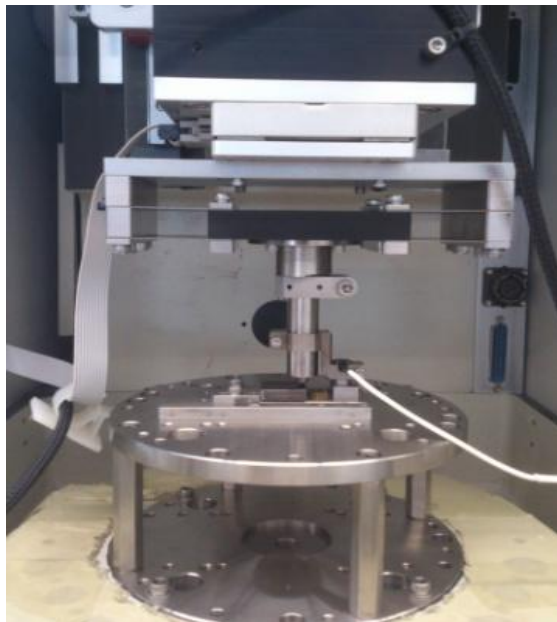


Fig.39. Eclise exterioare



### 3. ANALIZA FUNCȚIONAL-CONSTRUCTIVĂ A TRANSMISIILOR PRIN LANȚ

#### 3.4. DETERMINAREA PARAMETRILOR DE MATERIAL PENTRU POLIAMIDĂ



Duritate: 3 ... 4 HRV.  $E=2.8 \dots 3.3 \text{ GPa}$ .

Fig.40. Modulul de indentare



### 3. ANALIZA FUNCȚIONAL-CONSTRUCTIVĂ A TRANSMISIILOR PRIN LANȚ

#### 3.5. STUDIUL FENOMENULUI DE FRECARE DIN CONTACTUL PATINĂ/ECLISĂ

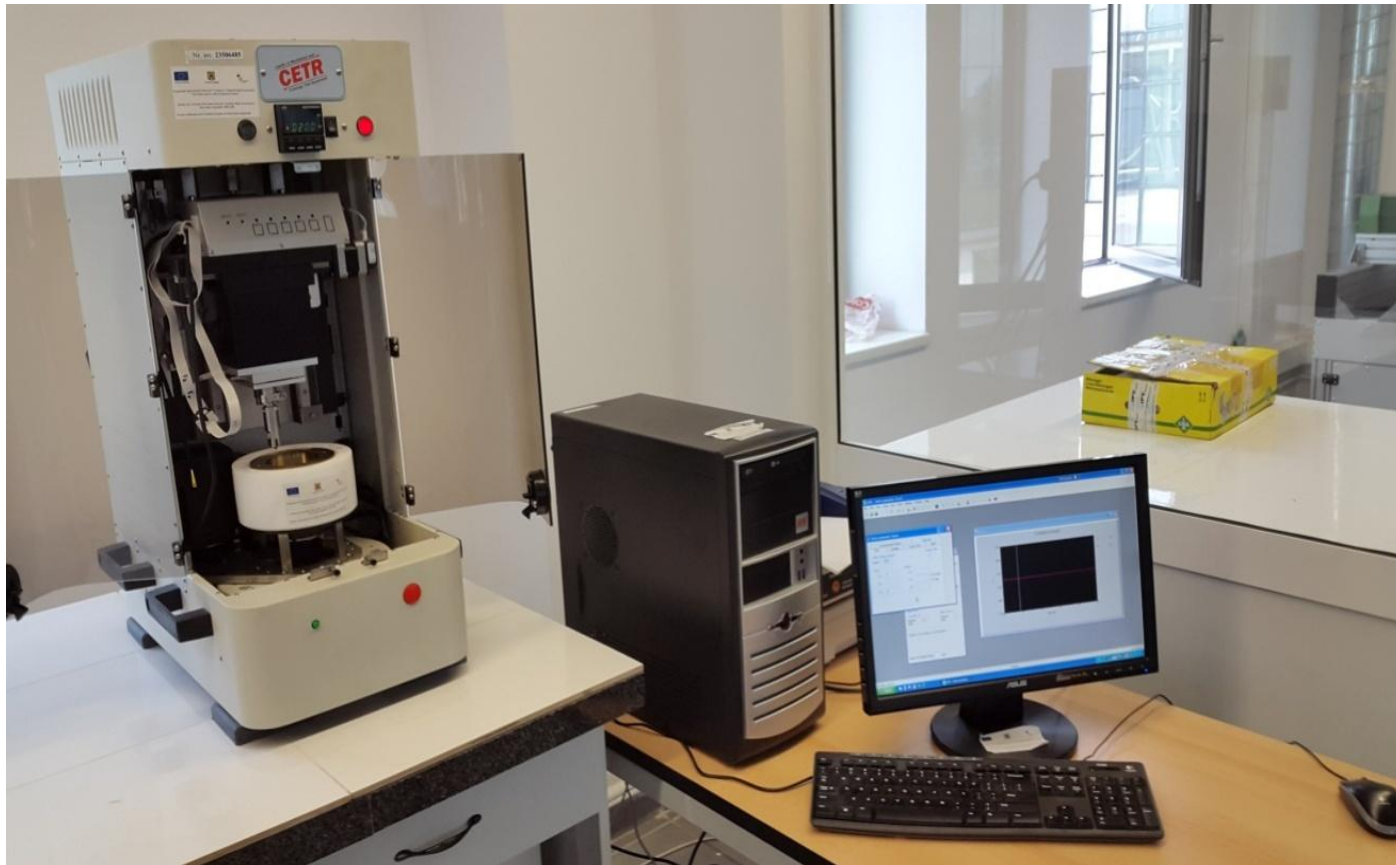


Fig.41. Tribometrul



### 3. ANALIZA FUNCȚIONAL-CONSTRUCTIVĂ A TRANSMISIILOR PRIN LANȚ

#### 3.5. STUDIUL FENOMENULUI DE FRECARE DIN CONTACTUL PATINĂ/ECLISĂ

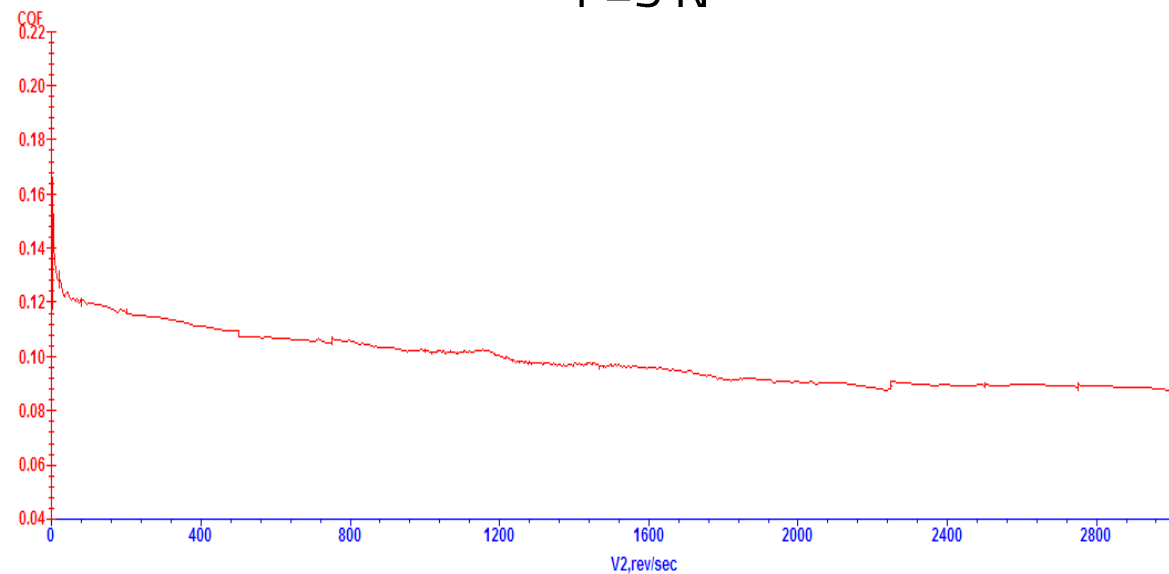
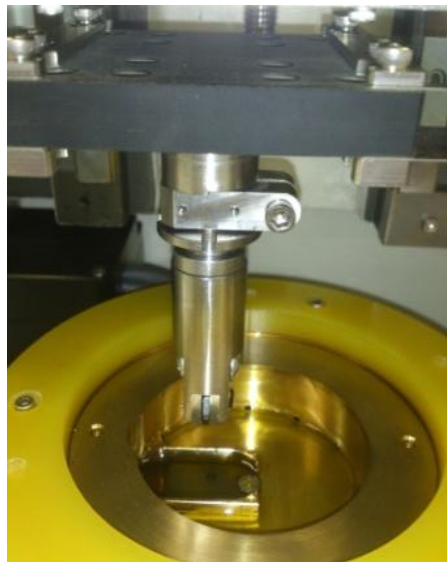


Fig.42. Modulul de rotație  
al tribometrului

Fig.43. Testul *Stribeck*



### 3. ANALIZA FUNCȚIONAL-CONSTRUCTIVĂ A TRANSMISIILOR PRIN LANȚ

#### 3.5. STUDIUL FENOMENULUI DE FRECARE DIN CONTACTUL PATINĂ/ECLISĂ

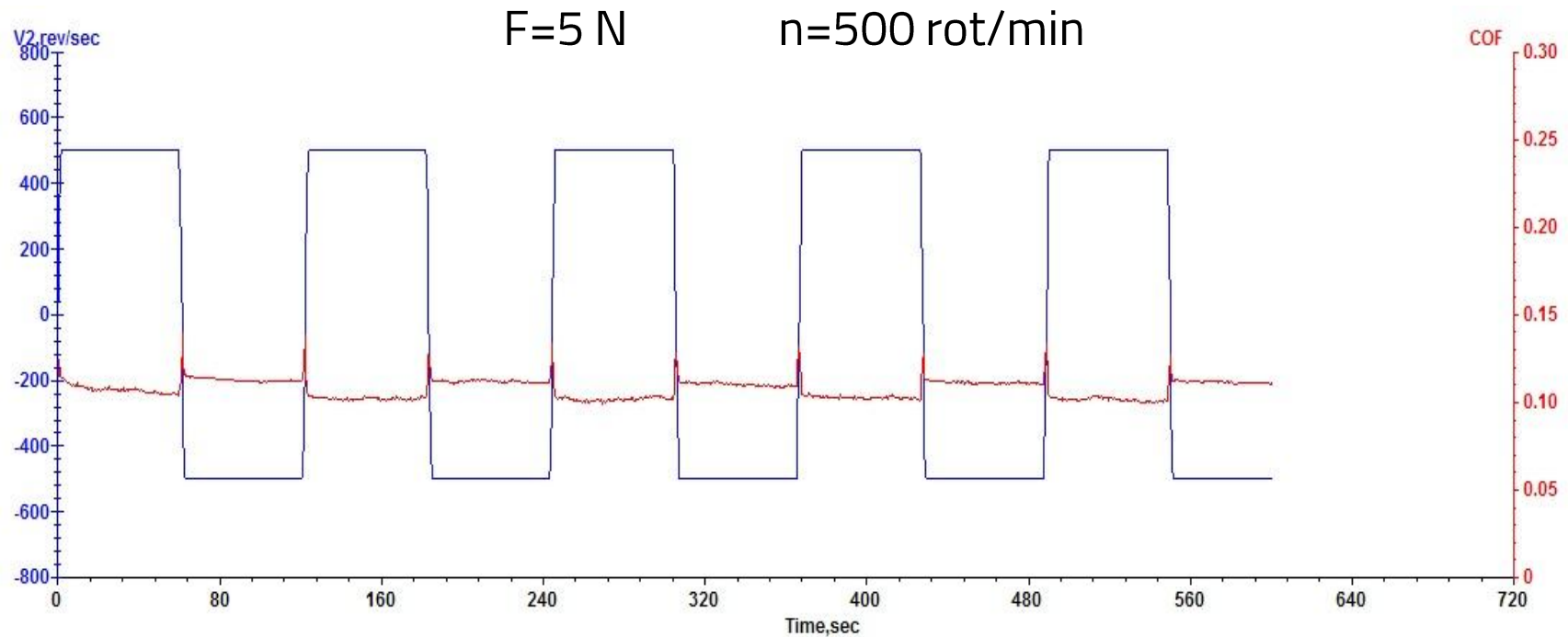


Fig.44. Variația coeficientului de frecare



### 3. ANALIZA FUNCȚIONAL-CONSTRUCTIVĂ A TRANSMISIILOR PRIN LANȚ

#### 3.5. STUDIUL FENOMENULUI DE FRECARE DIN CONTACTUL PATINĂ/ECLISĂ

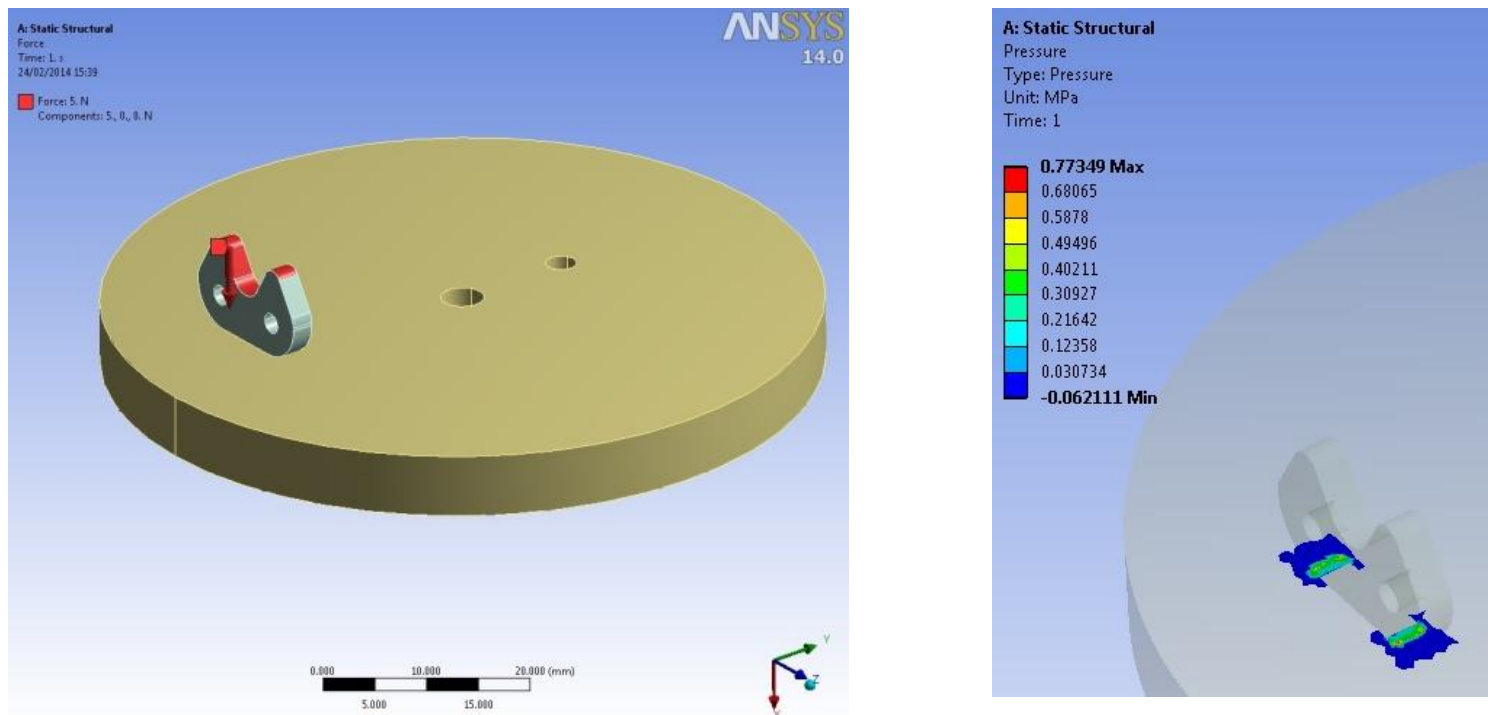


Fig.45. Modelul și analiza MEF – presiunea de contact



## **4. STUDIUL FRECĂRII ÎN TRE CUPLURILE DE MATERIALE OTEL/POLIAMIDĂ**

- 4.1. Testarea tribologică a contactului eclusă/PA66 în mișcare de rotație
- 4.2. Testarea tribologică a contactului eclusă/PA46 în mișcare de rotație
- 4.3. Testări asupra contactului eclusă/PA66, PA46 în condiții nelubrificate
- 4.4. Testări tribologice ale contactului eclusă/PA66, PA46 în mișcare de translație
- 4.5. Testări tribologice ale contactului punctiform oțel/PA66, PA46
- 4.6. Poliamide noi. Testări tribologice ale contactului de tip suprafață
- 4.7. Prelucrarea datelor experimentale



## 4. STUDIUL FRECĂRII ÎNTRU CUPLURILE DE MATERIALE OȚEL/POLIAMIDĂ

### 4.1. TESTAREA TRIBOLOGICĂ A CONTACTULUI ECLISĂ/PA66 ÎN MIȘCAREA DE ROTATIE

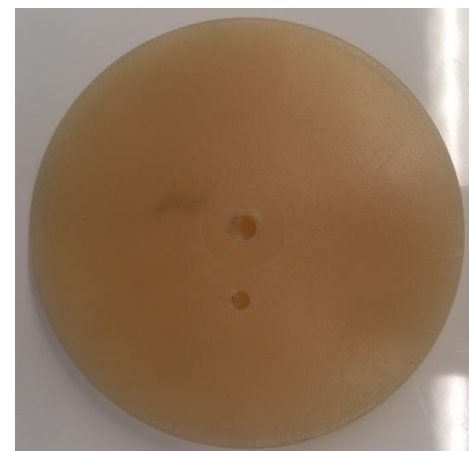
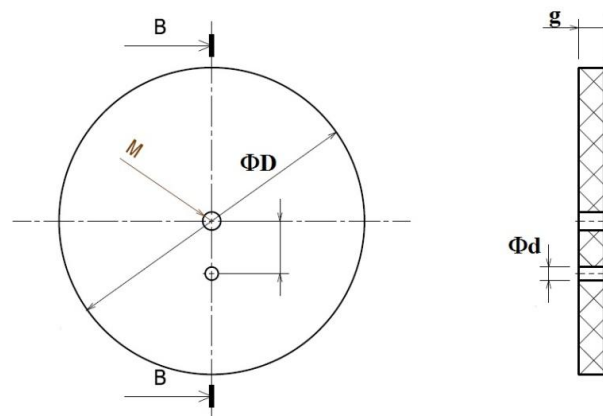
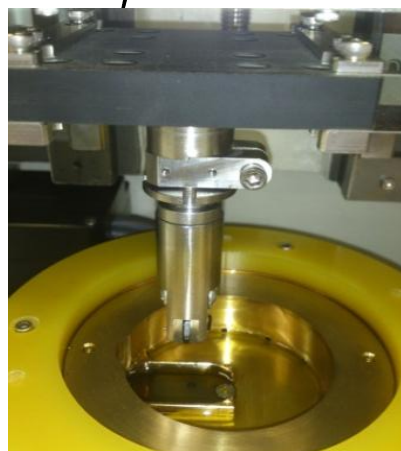
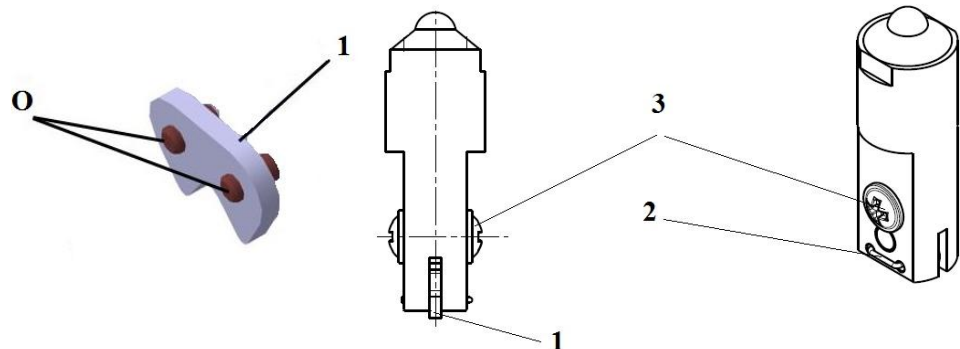


Fig.46. Discul montat în modulul de rotație



- 1 – Eclisa
- 2 – Agrafa
- 3 – Șurub
- O – Găurile în care se introduce agrafa

Fig.47. Eclisa montată în dispozitiv



## 4. STUDIUL FRECĂRII ÎNTRU CUPLURILE DE MATERIALE OȚEL/POLIAMIDĂ

### 4.1. TESTAREA TRIBOLOGICĂ A CONTACTULUI ECLISĂ/PA66 ÎN MIȘCAREA DE ROTAȚIE

F=5 N

n=500 rot/min

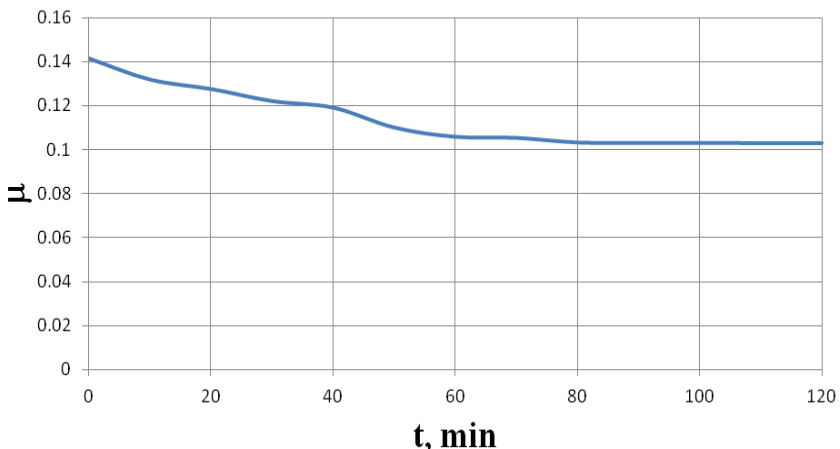


Fig.48. Evoluția coeficientului de frecare

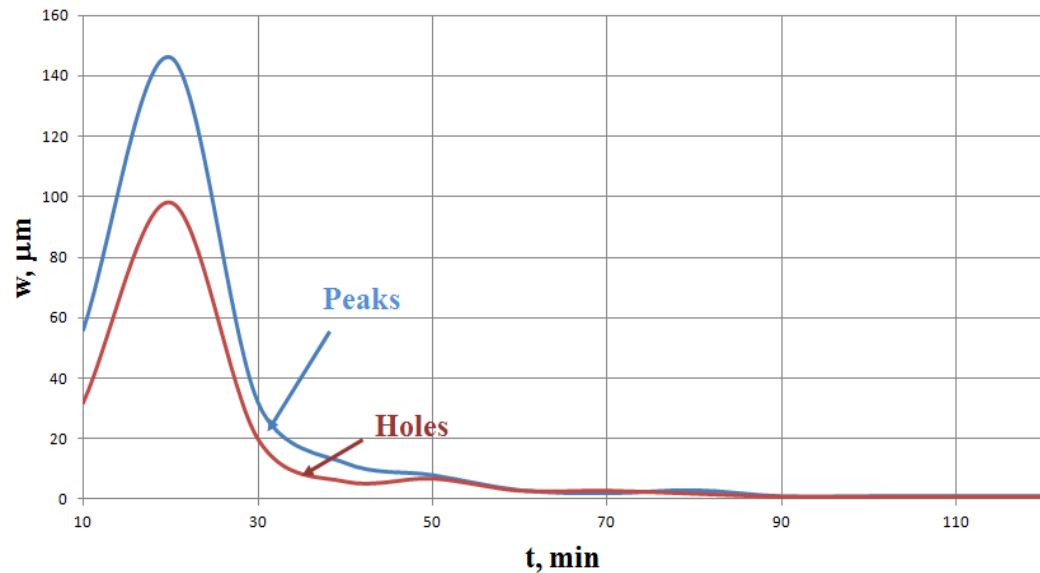


Fig.49. Evoluția uzurii

## 4. STUDIUL FRECĂRII ÎNTRU CUPLURILE DE MATERIALE OȚEL/POLIAMIDĂ

### 4.2. TESTAREA TRIBOLOGICĂ A CONTACTULUI ECLISĂ/PA46 ÎN MIȘCAREA DE ROTAȚIE

F=5 N

n=500 rot/min

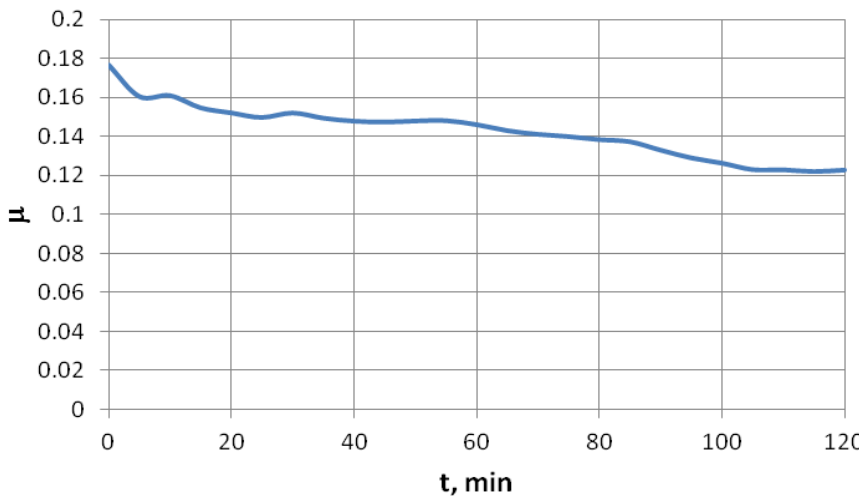


Fig.50. Evoluția coeficientului de frecare

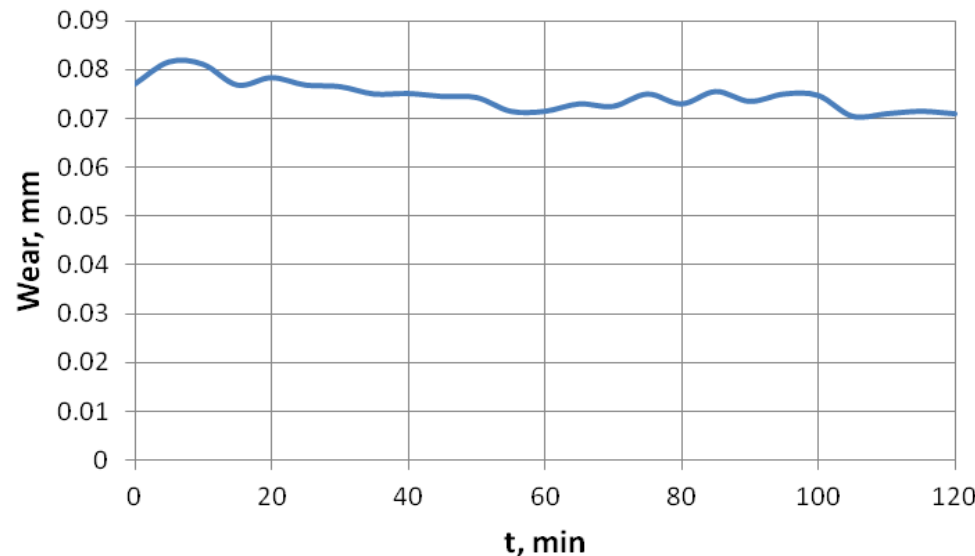


Fig.51. Evoluția uzurii

## 4. STUDIUL FRECĂRII ÎNTRĘ CUPLURILE DE MATERIALE OȚEL/POLIAMIDĂ

### 4.2. TESTAREA TRIBOLOGICĂ A CONTACTULUI ECLISĂ/PA46 ÎN MIȘCAREA DE ROTAȚIE



Fig.52. Încălzitorul modulului de rotație



## 4. STUDIUL FRECĂRII ÎNTRU CUPLURILE DE MATERIALE OȚEL/POLIAMIDĂ

### 4.2. TESTAREA TRIBOLOGICĂ A CONTACTULUI ECLISĂ/PA46 ÎN MIȘCAREA DE ROTAȚIE

◆ Test-1 ▲ Test-2 — Poly. (Test-1) — Poly. (Test-2)

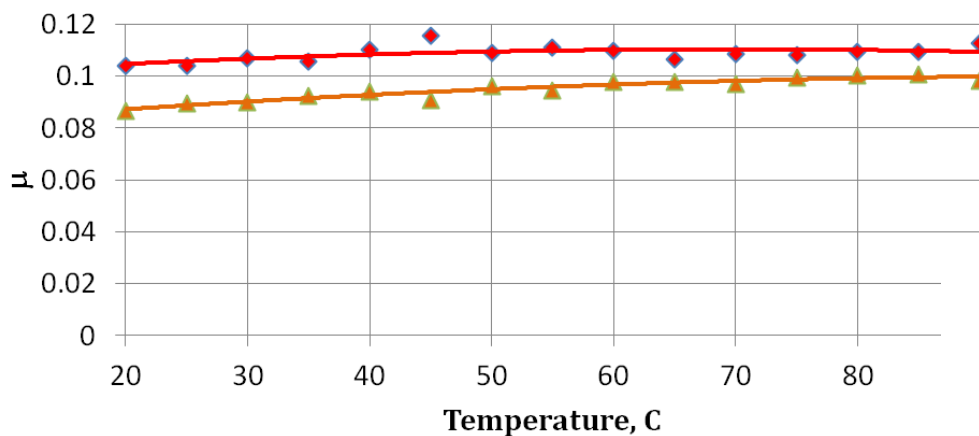


Fig.53. Variatia coeficientului de frecare

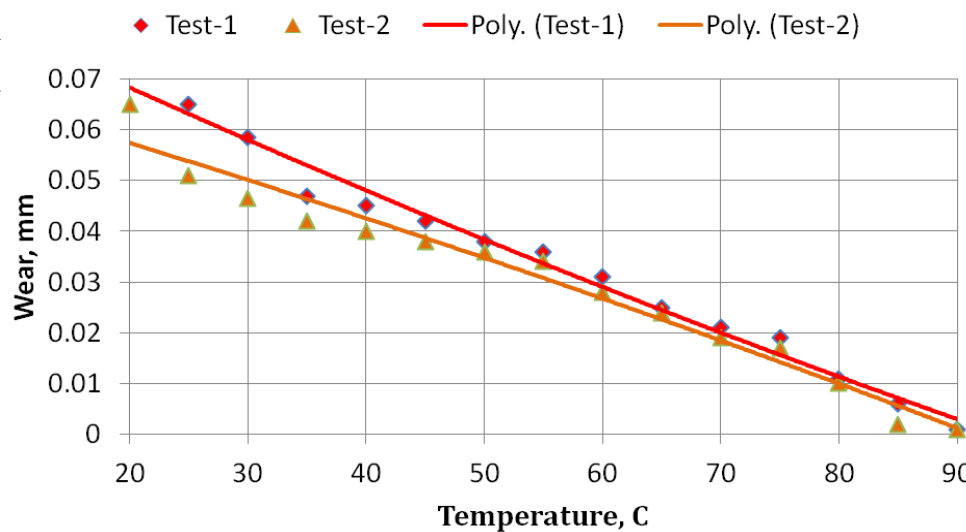
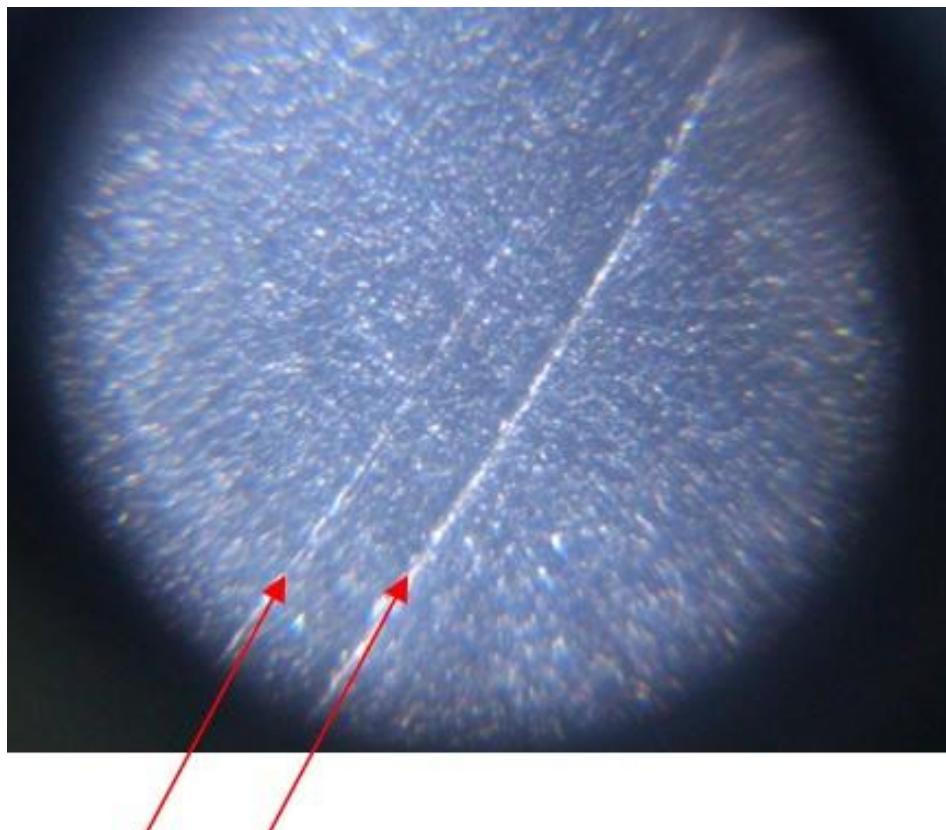


Fig.54. Variatia uzurii

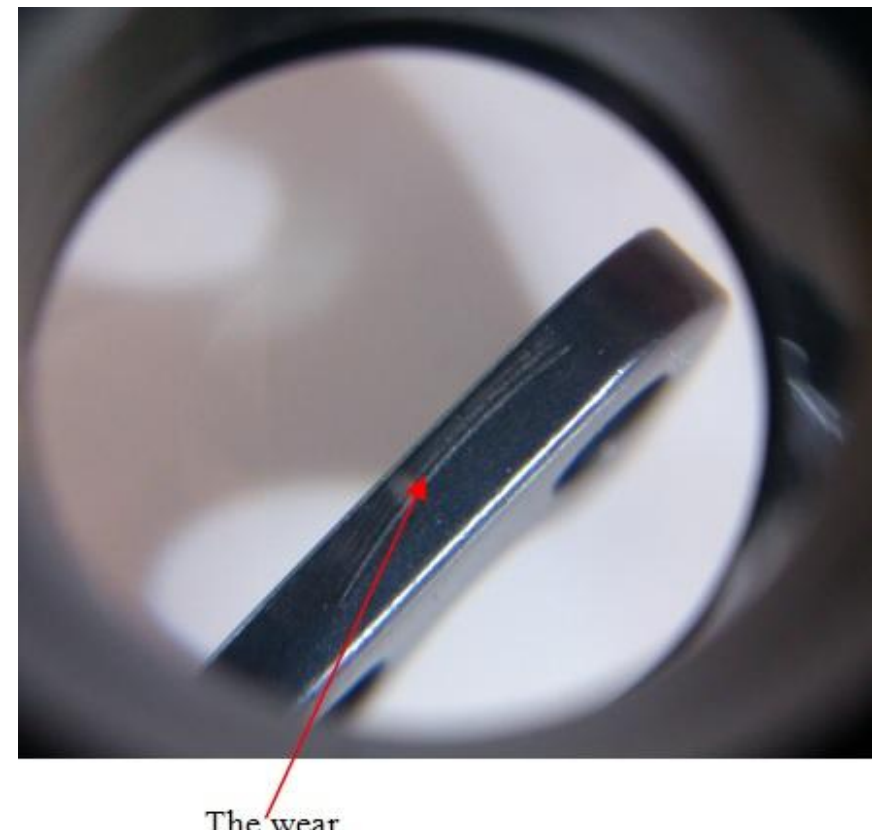


## 4. STUDIUL FRECĂRII ÎNTRĘ CUPLURILE DE MATERIALE OȚEL/POLIAMIDĂ

### 4.2. TESTAREA TRIBOLOGICĂ A CONTACTULUI ECLISĂ/PA46 ÎN MIȘCAREA DE ROTAȚIE



Wear track limits



The wear

Fig.55. Vizualizarea uzurii



## 4. STUDIUL FRECĂRII ÎNTRU CUPLURILE DE MATERIALE OȚEL/POLIAMIDĂ

4.3. TESTĂRI ASUPRA CONTACTULUI ECLISĂ/PA66, PA46 ÎN CONDIȚII NELUBRIFIATE

$$F=5 \text{ N} \quad T=20^\circ \text{ C}$$

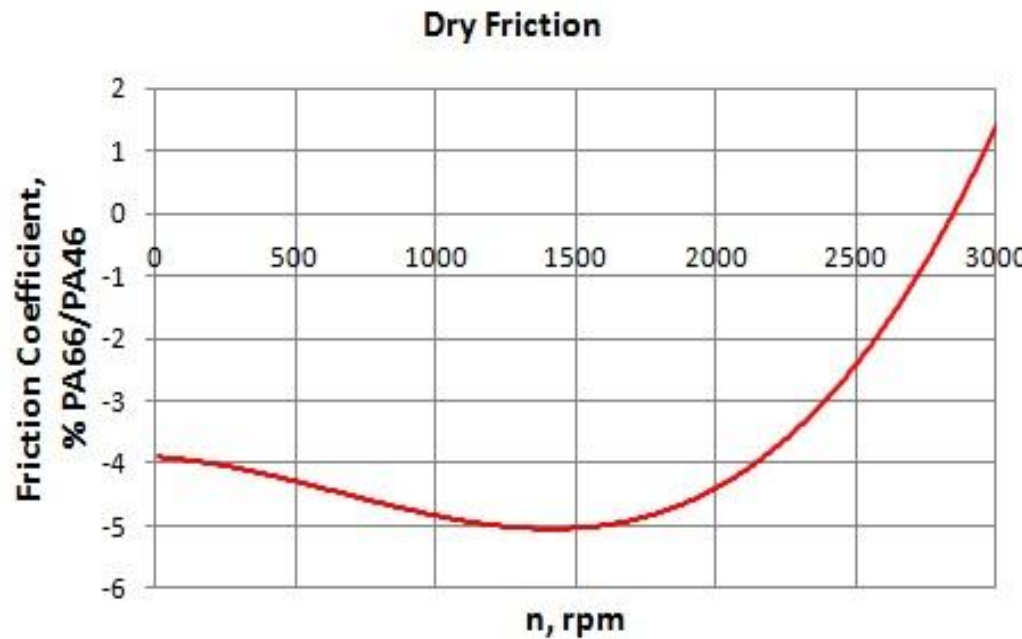


Fig.56. Variația procentuală relativă a coeficientului de frecare



## 4. STUDIUL FRECĂRII ÎN TRE CUPLURILE DE MATERIALE OȚEL/POLIAMIDĂ

### 4.4. TESTĂRI TRIBOLOGICE ALE CONTACTULUI ECLISĂ/PA66, PA46 ÎN MIȘCARE DE TRANSLAȚIE

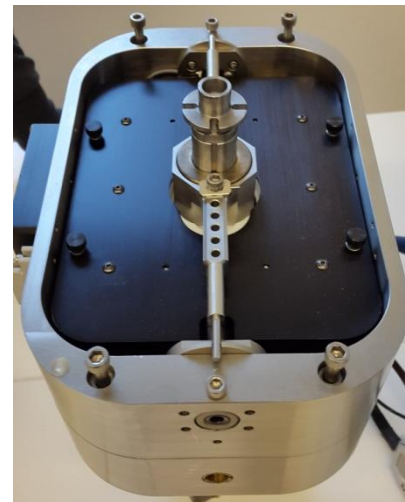
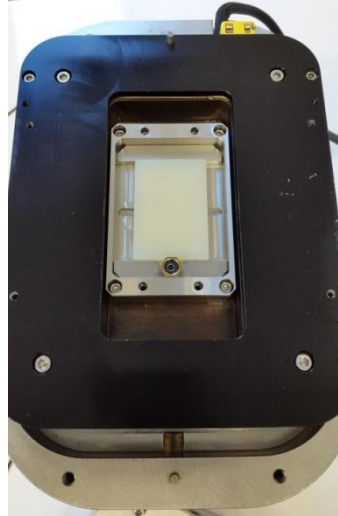
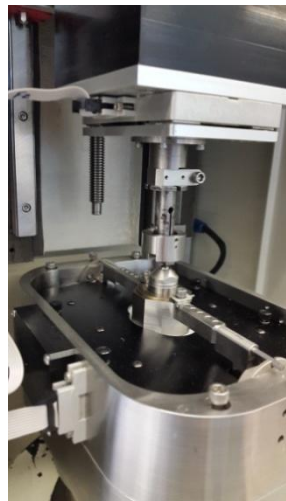


Fig.57. Modulul de translație

## 4. STUDIUL FRECĂRII ÎNTRU CUPLURILE DE MATERIALE OȚEL/POLIAMIDĂ

### 4.4. TESTĂRI TRIBOLOGICE ALE CONTACTULUI ECLISĂ/PA66, PA46 ÎN MIȘCARE DE TRANSLAȚIE

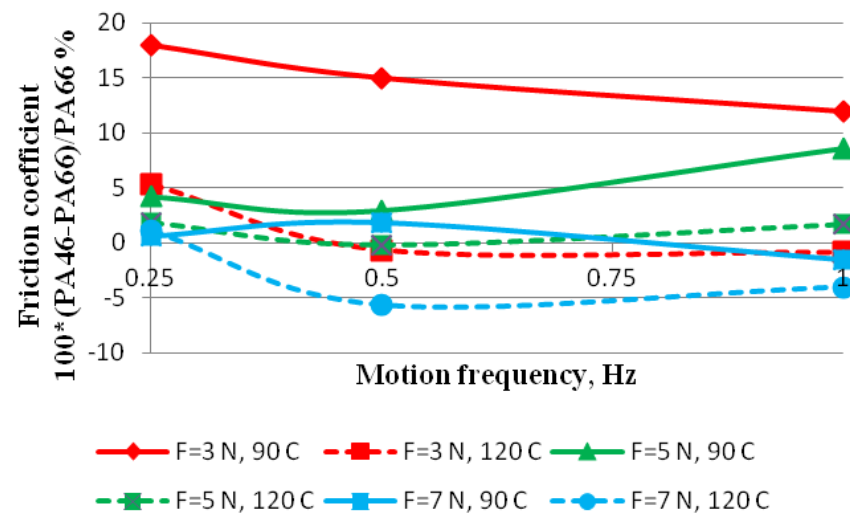
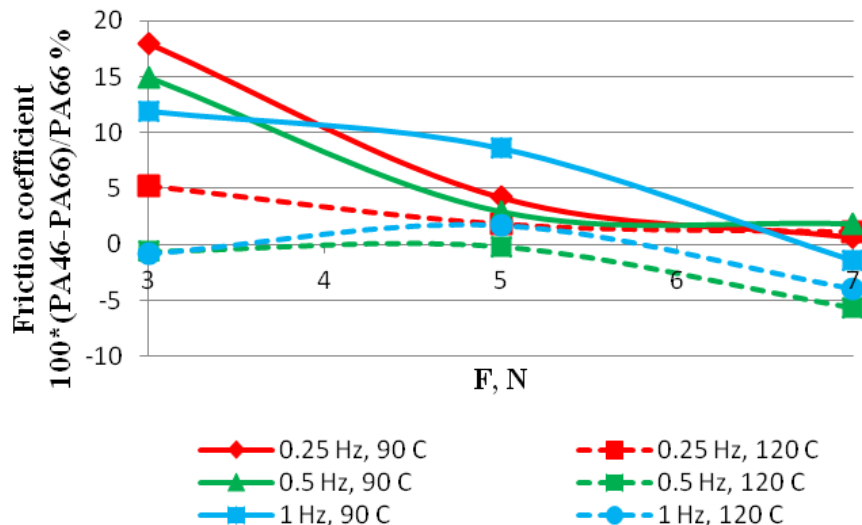


Fig.58. Variația diferenței procentuale a coeficientului de frecare



## 4. STUDIUL FRECĂRII ÎNTRĘ CUPLURILE DE MATERIALE OȚEL/POLIAMIDĂ

### 4.5. TESTĂRI TRIBOLOGICE ALE CONTACTULUI PUNCTIFORM OȚEL/PA66, PA46

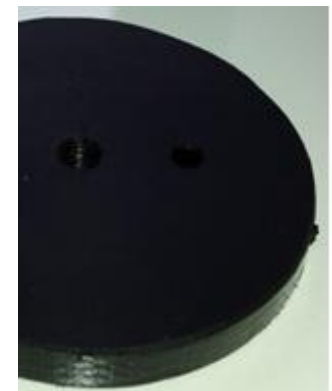
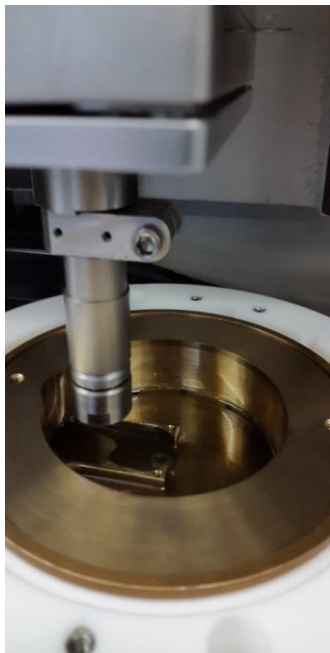


Fig.59. Modulul de rotație – contact punctiform



## 4. STUDIUL FRECĂRII ÎNTRU CUPLURILE DE MATERIALE OȚEL/POLIAMIDĂ

### 4.5. TESTĂRI TRIBOLOGICE ALE CONTACTULUI PUNCTIFORM OȚEL/PA66, PA46

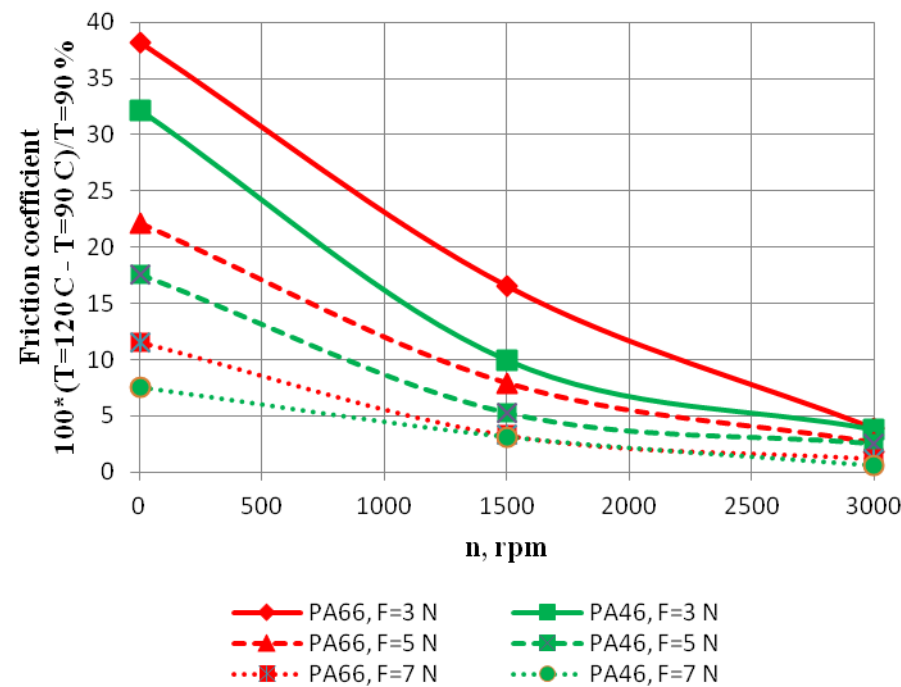
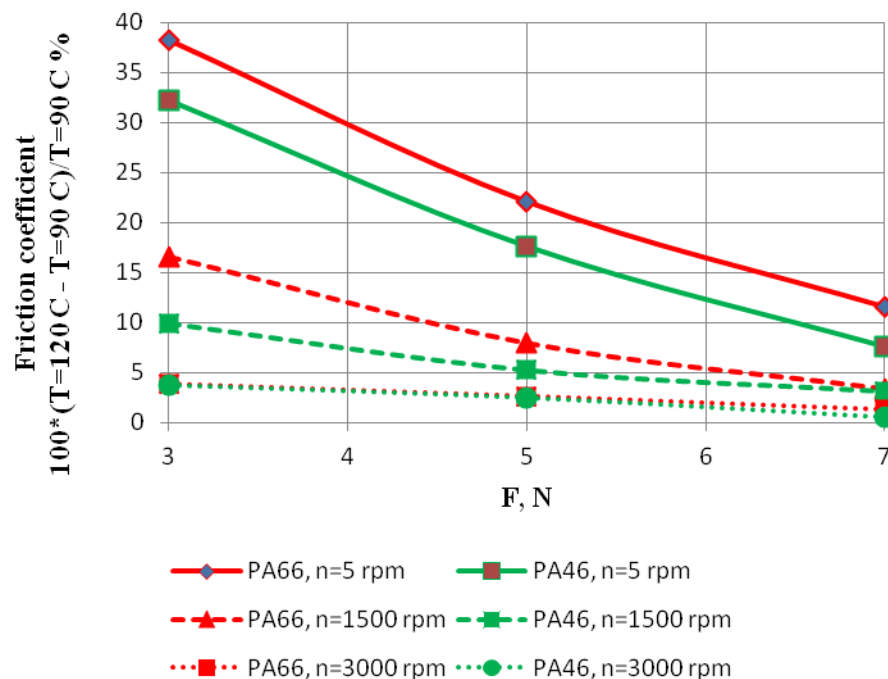


Fig.60. Variația diferenței procentuale a coeficientului de frecare



## 4. STUDIUL FRECĂRII ÎN TRE CUPLURILE DE MATERIALE OȚEL/POLIAMIDĂ

### 4.6. POLIAMIDE NOI. TESTĂRI TRIBOLOGICE ALE CONTACTULUI DE TIP SUPRAFAȚĂ

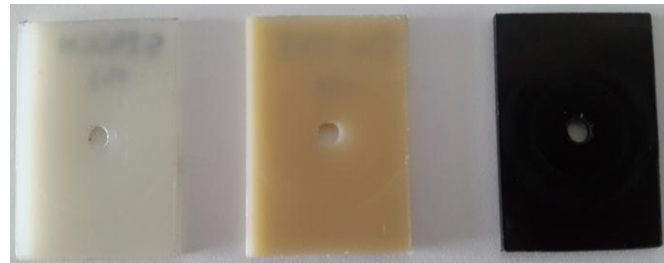


Fig.61. Plăcuțele PA66, PA46 și, respectiv PA46 modificat cu Teflon (PTFE)

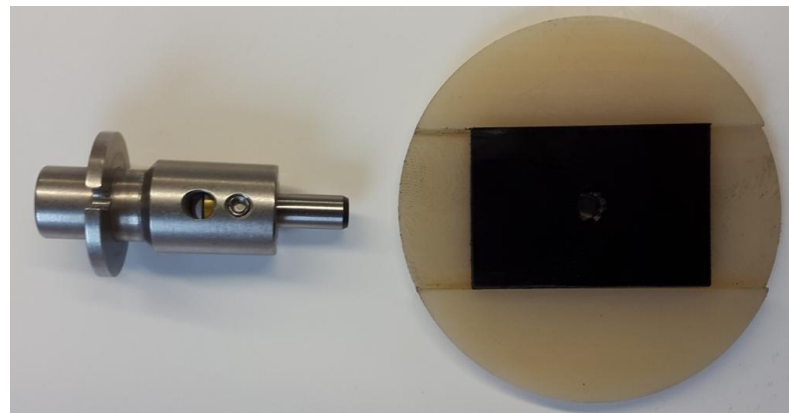
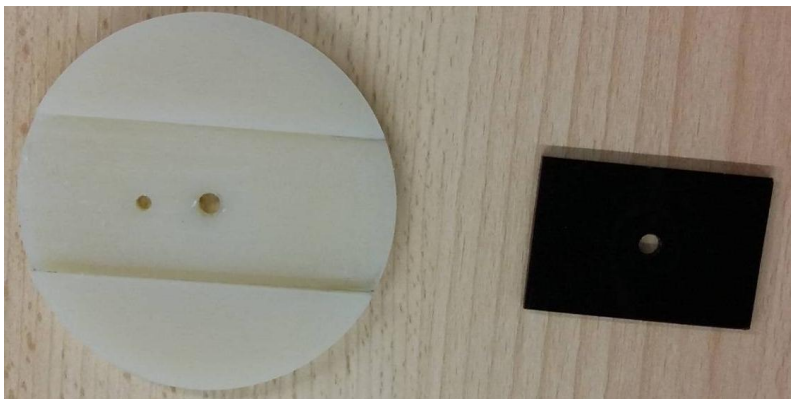


Fig.62. Montarea plăcuței



## 4. STUDIUL FRECĂRII ÎN TRE CUPLURILE DE MATERIALE OTEL/POLIAMIDĂ

### 4.6. POLIAMIDE NOI. TESTĂRI TRIBOLOGICE ALE CONTACTULUI DE TIP SUPRAFAȚĂ

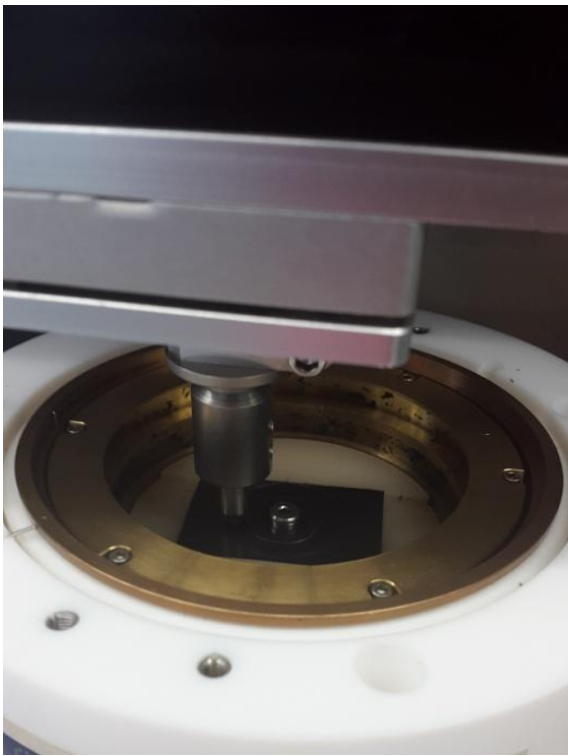


Fig.63. Modulul de rotație



## 4. STUDIUL FRECĂRII ÎNTRU CUPLURILE DE MATERIALE OȚEL/POLIAMIDĂ

### 4.6. POLIAMIDE NOI. TESTĂRI TRIBOLOGICE ALE CONTACTULUI DE TIP SUPRAFAȚĂ

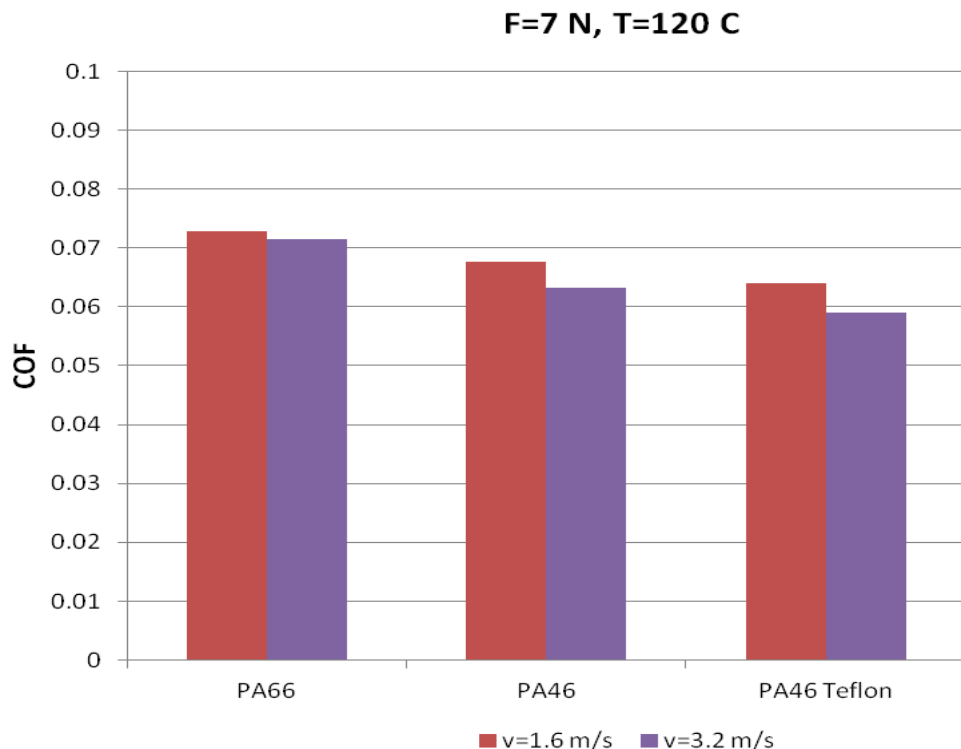


Fig.64. Coeficientul de frecare

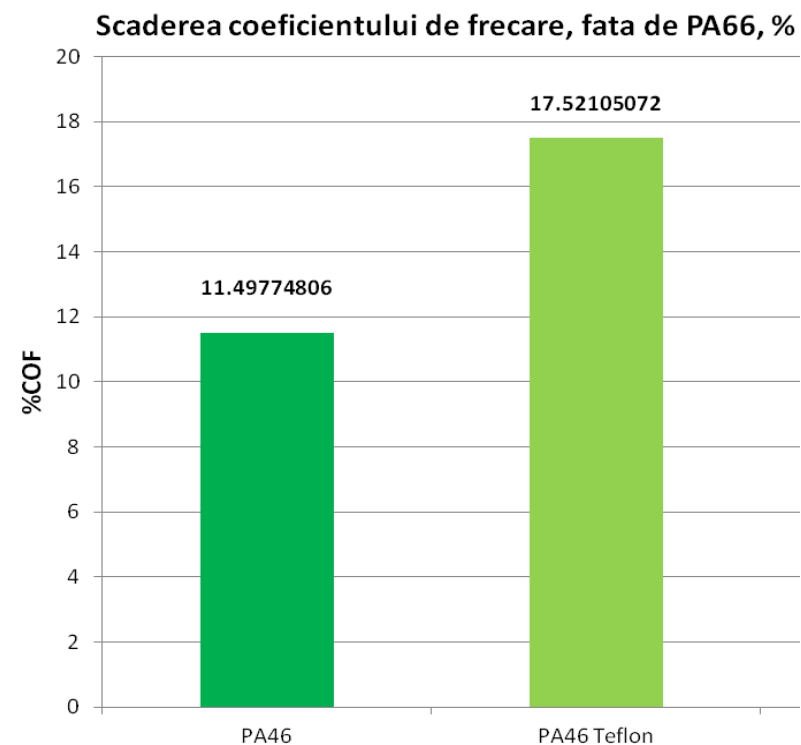


Fig.65. Diferența coeficientului de frecare,  $v=3,2 \text{ m/s}$



## 4. STUDIUL FRECĂRII ÎNTRE CUPLURILE DE MATERIALE OȚEL/POLIAMIDĂ

### 4.7. PRELUCRAREA DATELOR EXPERIMENTALE

*Modified Thompson τ technique - Measurement Uncertainty (American Society of Mechanical Engineers – ASME, 1998) [5].*

Media celor  $n$  măsurători  $x_i$

$$\bar{x} = \frac{1}{n} \sum_{i=1}^n x_i$$

Deviația standard

$$S = \sqrt{\frac{1}{n-1} \sum_{i=1}^n (x_i - \bar{x})^2}$$

Deviația valorilor față de minim și maxim

$$\delta_m = |x_{min} - \bar{x}| \quad \delta_M = |x_{max} - \bar{x}|$$

Maximul deviațiilor

$$\delta_{Max} = max(\delta_m, \delta_M)$$

Condiția de eliminare a valorii minime sau maxime -  $\tau$  ales în funcție de  $n$  din [6]

$$\delta_{Max} > \tau S$$



## 4. STUDIUL FRECĂRII ÎN TRE CUPLURILE DE MATERIALE OȚEL/POLIAMIDĂ

### 4.7. PRELUCRAREA DATELOR EXPERIMENTALE

Rezultatele aplicării *Modified Thompson τ technique* în cazul testării poliamidelor noi

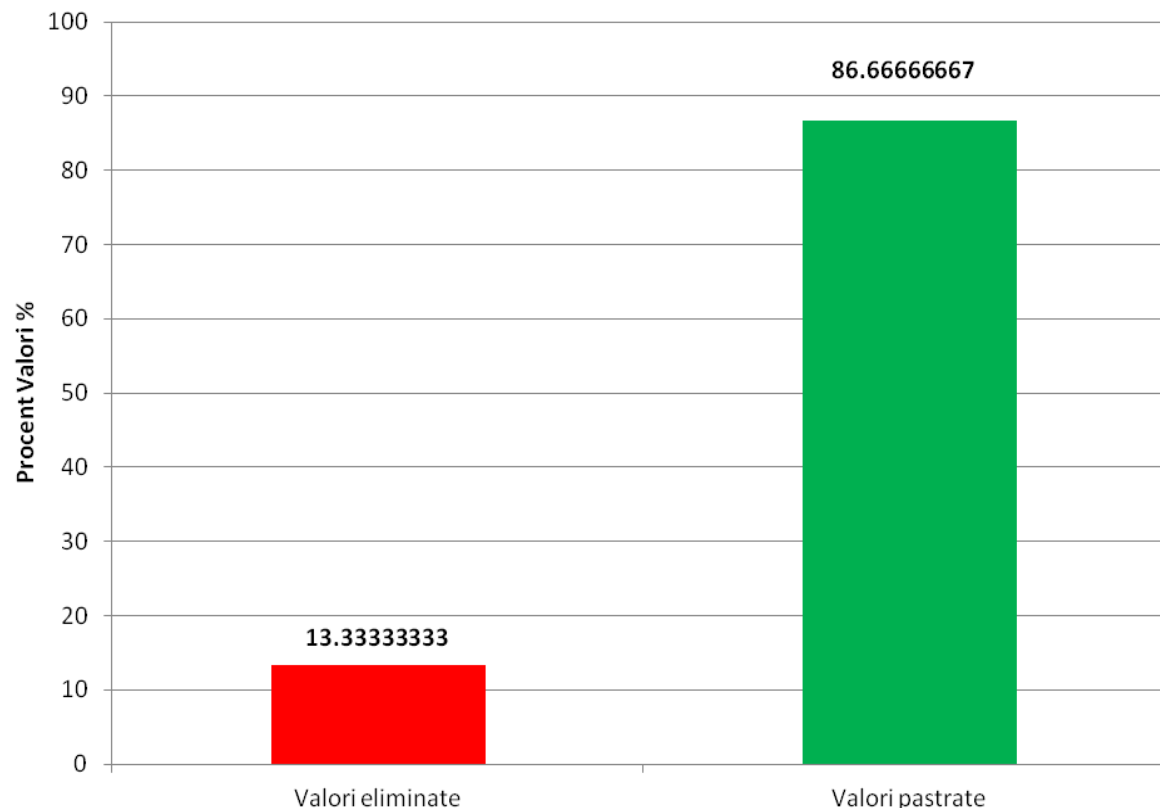


Fig.66. Valori eliminate / valori păstrate



## 4. STUDIUL FRECĂRII ÎNTRE CUPLURILE DE MATERIALE OȚEL/POLIAMIDĂ

### 4.7. PRELUCRAREA DATELOR EXPERIMENTALE

Rezultatele aplicării *Modified Thompson τ technique* în cazul testării poliamidelor noi

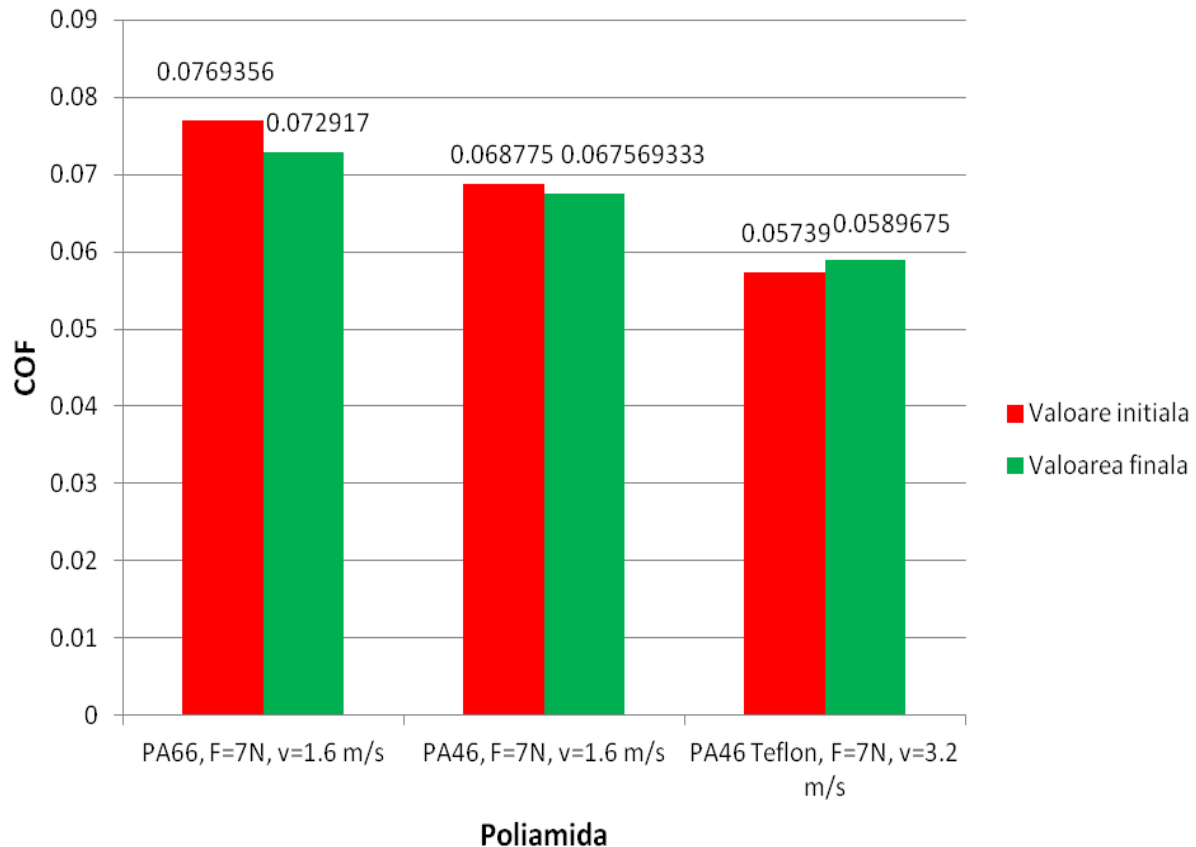


Fig.67. Valoarea coeficientului de frecare



## 4. STUDIUL FRECĂRII ÎNTRU CUPLURILE DE MATERIALE OȚEL/POLIAMIDĂ

### 4.7. PRELUCRAREA DATELOR EXPERIMENTALE

Rezultatele aplicării *Modified Thompson τ technique* în cazul testării poliamidelor noi

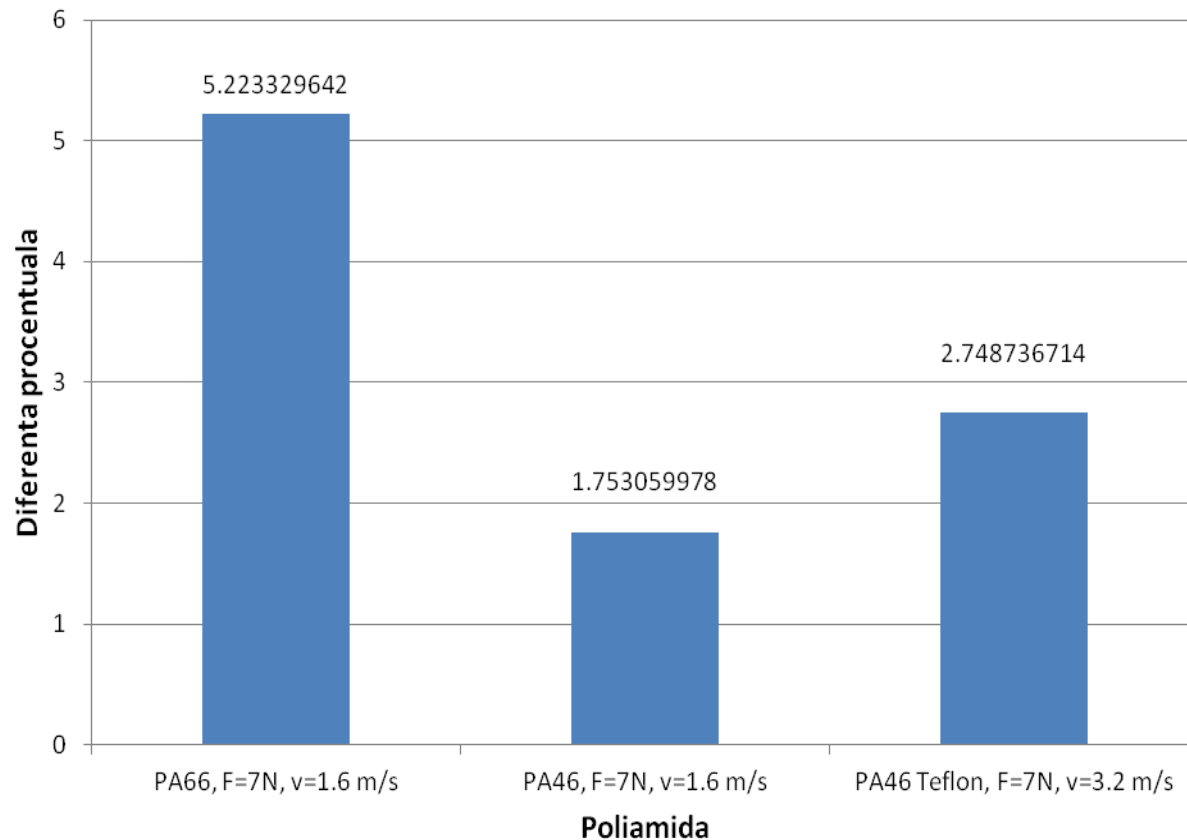


Fig.68. Diferența procentuală a valorii coeficientului de frecare



## 5. CONCLUZII

Creșterea eficienței transmisiilor mecanice s-a realizat prin:

- Identificarea domeniilor de utilizare a rulmenților radiali și radial-axiali cu bile, **caracterizate de momente de frecare reduse** (sub 50 N, pentru rulmenții testați la 2000 rot/min, nu se recomandă utilizarea rulmenților etanșați sau a celor cu bile pe 2 rânduri); după această valoare a forței, cel mai mic moment de frecare îl au rulmenții radiali cu bile pe 2 rânduri  $\Rightarrow$  **randament ridicat**.
- Identificarea soluțiilor de utilizare a rulmenților radiali și radial-axiali cu bile, **caracterizate de presiuni de contact scăzute**; presiuni de contact mari se regăsesc în cazul rulmenților etanșați iar valori reduse se regăsesc în cazul rulmenților radiali cu bile pe 2 rânduri  $\Rightarrow$  **durabilitate ridicată**.



## 5. CONCLUZII

Creșterea eficienței transmisiilor mecanice s-a realizat prin:

- Identificarea soluțiilor de utilizare a transmisiilor prin curele trapezoidale, în condițiile date - Alegerea pentru exploatare a curelei de tip SPA conduce la obținerea unui număr redus de curele și a unei distanțe dintre axe mai mici decât în cazul curelei de tip SPZ, conferind transmisiei un gabarit redus  $\Rightarrow$  economie de material.
- Identificarea condițiilor de proiectare a transmisiilor prin lanț - numărul ecliselor interioare aflate în contact cu patina de întindere este mai mare decât cel al ecliselor exterioare, distribuția forței normale specifice este uniformă în cazul ecliselor interioare  $\Rightarrow$  durabilitate ridicată.



## 5. CONCLUZII

Creșterea eficienței transmisiilor mecanice s-a realizat prin:

- Identificarea soluțiilor de utilizare a poliamidelor - În cazul poliamidei PA46, spre deosebire de cazul poliamidei PA66, **uzura are o variație mult mai mică**, pentru contactul eclisă/disc  $\Rightarrow$  durabilitate ridicată.
- Identificarea soluțiilor de utilizare a poliamidelor - În cazul mișcărilor alternative de translație, pentru poliamida PA46 se obțin **coeficienti de frecare mai mici decât** în cazul poliamidei PA66 în situația utilizări acesteia la temperaturi mari ( $120^{\circ}\text{C}$ ) și forțe de apăsare normală mari  $\Rightarrow$  randament ridicat.



## 5. CONCLUZII

Creșterea eficienței transmisiilor mecanice s-a realizat prin:

- Identificarea soluțiilor de utilizare a poliamidelor - Pentru contactul punctiform, în toate situațiile, diferențele procentuale ale coeficientilor de frecare (raportate la temperatură) pentru poliamida PA46 sunt mai mici decât în cazul poliamidei PA66  $\Rightarrow$  **caracteristici fricționale mai stabile cu temperatura.**
- Identificarea soluțiilor de utilizare a poliamidelor - Valoarea coeficientului de frecare, pentru toate polamidele, scade cu creșterea vitezei periferice; **cele mai reduse valori ale coeficientului de frecare sunt în cazul poliamidei PA46 modificate cu Teflon (PTFE)  $\Rightarrow$  randament ridicat.**



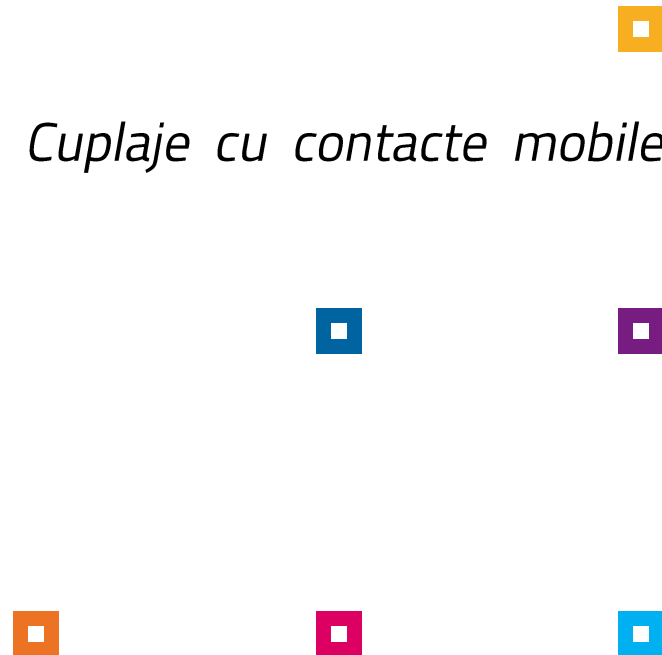
# PLANURI DE EVOLUȚIE ȘI DEZVOLTARE A CARIEREI

## EVOLUȚIA PROFESIONALĂ

- 1998 – Absolvent *Roboți Industriali* – Universitatea Transilvania din Brașov
- 2003 – Susținere Teză de doctorat – *Cuplaje cu contacte mobile*, coordonator prof.dr.ing. Aurel Jula



Universitatea  
Transilvania  
din Brașov



# **PLANURI DE EVOLUȚIE ȘI DEZVOLTARE A CARIEREI**

## **EVOLUȚIA PROFESIONALĂ**

- 2000 – Preparator universitar
- 2002 – Asistent universitar
- 2004 - Șef lucrări
- 2007 – Conferențiar



**Universitatea  
Transilvania  
din Brașov**



# **PLANURI DE EVOLUȚIE ȘI DEZVOLTARE A CARIEREI**

## **EVOLUȚIA PROFESIONALĂ - SPECIALIZĂRI**

### **■ În țară:**

- Informatică Aplicată în Inginerie
- Introduction to ANSYS Workbench 14.0 & ANSYS Composite PrePost

### **■ În străinătate:**

- Bursă DAAD la Universitatea Tehnică din Dresden
- Bursă Leonardo la Universitatea din Delft – Olanda
- Bursă Erasmus la Universitatea din Brighton – Marea Britanie
- 2003-2019 burse Erasmus anuale la VIA University College Horsens – Danemarca).



**Universitatea  
Transilvania  
din Brașov**



# **PLANURI DE EVOLUȚIE ȘI DEZVOLTARE A CARIEREI**

## **EVOLUȚIA PROFESIONALĂ – MEMBRU ASOCIAȚII PROFESIONALE**

- Asociația Română de Știința Mecanismelor și Mașinilor (ARoTMM)
- Asociația Română de Transmisii Mecanice (ROAMET)
- Asociația Română de Tribologie (ART)



**Universitatea  
Transilvania  
din Brașov**



# **PLANURI DE EVOLUȚIE ȘI DEZVOLTARE A CARIEREI**

## **EVOLUȚIA PROFESIONALĂ – ACTIVITATEA DIDACTICĂ (TITULAR DISCIPLINE)**

- Metoda Elementului Finit
- Organe de Mașini
- Sisteme Experimentale pentru Testarea Elementelor Autovehiculelor
- Sisteme Eoliene



Universitatea  
Transilvania  
din Brașov



# **PLANURI DE EVOLUȚIE ȘI DEZVOLTARE A CARIEREI**

## **EVOLUȚIA PROFESIONALĂ – MATERIALE DIDACTICE**

- 2 suporturi de curs (1 prim autor)
- 3 îndrumare de laborator (2 prim autor)



**Universitatea  
Transilvania  
din Brașov**

# **PLANURI DE EVOLUȚIE ȘI DEZVOLTARE A CARIEREI**

## **EVOLUȚIA PROFESIONALĂ – LABORATOARE DE TESTARE**

- Realizare 3 standuri de laborator (transmisii mecanice)
- Echipare 1 stand de laborator (sisteme eoliene)



**Universitatea  
Transilvania  
din Brașov**

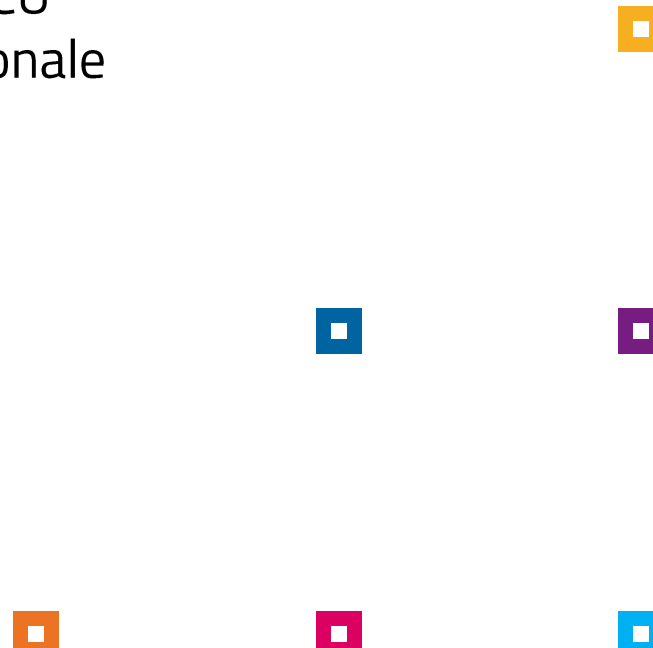
# PLANURI DE EVOLUȚIE ȘI DEZVOLTARE A CARIEREI

## EVOLUȚIA PROFESIONALĂ – ACTIVITATEA DE CERCETARE

- 117 Articole științifice:
  - 63 prim sau unic autor
  - 15 indexate ISI Web of Science
  - 3 cu factor de impact (FI: **2.972; 1.275; 0.918**)
  - 26 indexate BDI recunoscute CNATDCU
  - 49 prezentate la conferințe internaționale
- 2 Monografii (1 ca unic autor)
- 6 Contracte de cercetare
  - 1 director se proiect
  - 2 director științific (*Schaeffler Group*)



Universitatea  
Transilvania  
din Brașov



# PLANURI DE EVOLUȚIE ȘI DEZVOLTARE A CARIEREI

## EVOLUȚIA PROFESIONALĂ

Îndeplinirea criteriilor de abilitare conform OMENCS\_6129\_2016

Indicator	Standard minim conform OMENCS_6129_2016	Punctaj realizat
Manuale suport de curs <b>N1</b>	2	2
Manuale suport de curs prim autor <b>N1.1</b>	1	1
Manuale suport de curs disponibile pe platforma universității <b>N1.3</b>	1	2
Material didactic / Dezvoltare laboratoare <b>N2</b>	4	6
Standuri laborator <b>N2.1</b>	2	3
Articole și publicații indexate Web of Science + Brevete de Invenții <b>P1+P2</b>	10	14.33
Articole și publicații indexate Web of Science <b>P1</b>	6	14.33
Articole și publicații BDI <b>N3</b>	10	15
Articole și publicații BDI – prim autor <b>N3.1</b>	5	5
Monografii <b>N4</b>	2	3
Monografii prim autor <b>N4.3</b>	1	1
Granturi/Proiecte/Contracte cu terți <b>S1+S2</b>	50	107.43
Congrese/Conferințe/Workshopuri internaționale <b>N5</b>	10	49
Citări înpublicații BDI C	25	45.379





# PLANURI DE EVOLUȚIE ȘI DEZVOLTARE A CARIEREI

## ■ CARIERA DIDACTICĂ

- elaborarea de materiale didactice (suport de curs și laborator)
- coordonarea de proiecte de diplomă și de disertație în colaborare cu mediul economic
- dinamizarea schimbului de mobilități cu VIA University College, Horsens, Danemarca

## ■ CARIERA ȘTIINȚIFICĂ

- utilizarea bazei materiale software (Catia, Ansys, Adams, Matlab)
- utilizarea bazei materiale de testare



# PLANURI DE EVOLUȚIE ȘI DEZVOLTARE A CARIEREI

## ■ CARIERA ȘTIINȚIFICĂ – BAZA MATERIALĂ DE TESTARE

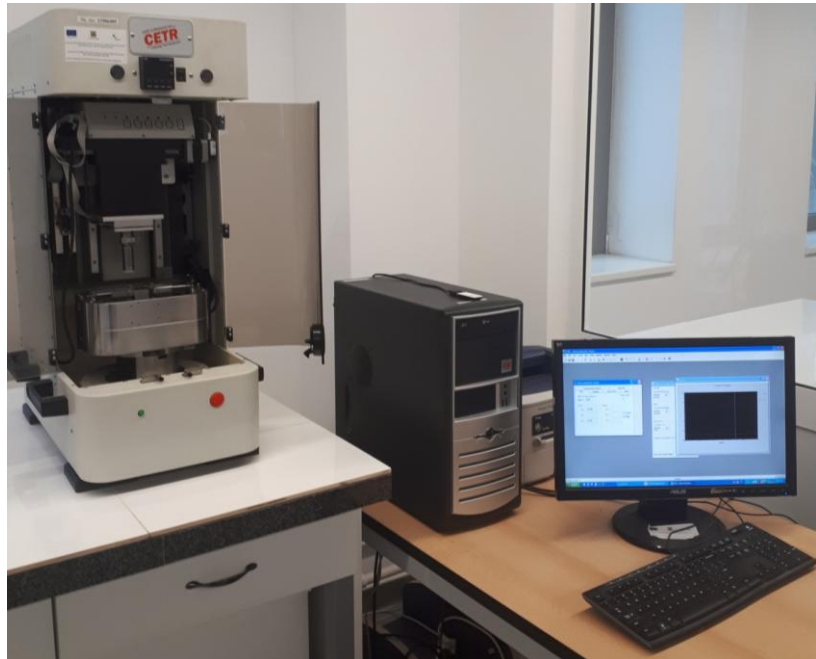


Fig.69. Tribometrul UMT

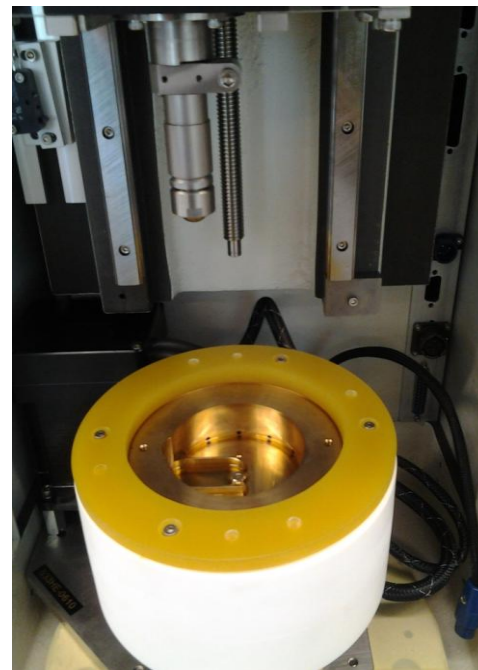


Fig.70. Modulul de rotație



# PLANURI DE EVOLUȚIE ȘI DEZVOLTARE A CARIEREI

## ■ CARIERA ȘTIINȚIFICĂ – BAZA MATERIALĂ DE TESTARE

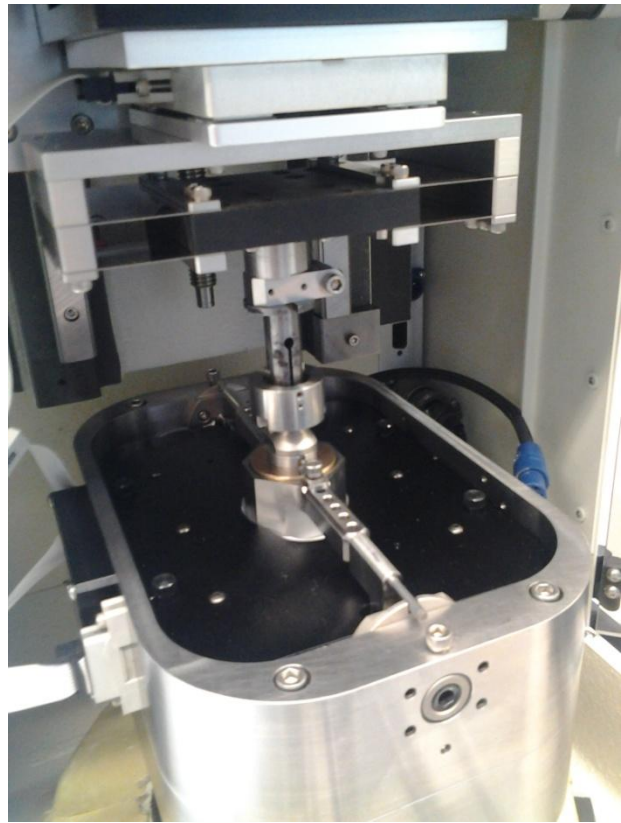


Fig.71. Modulul de translație

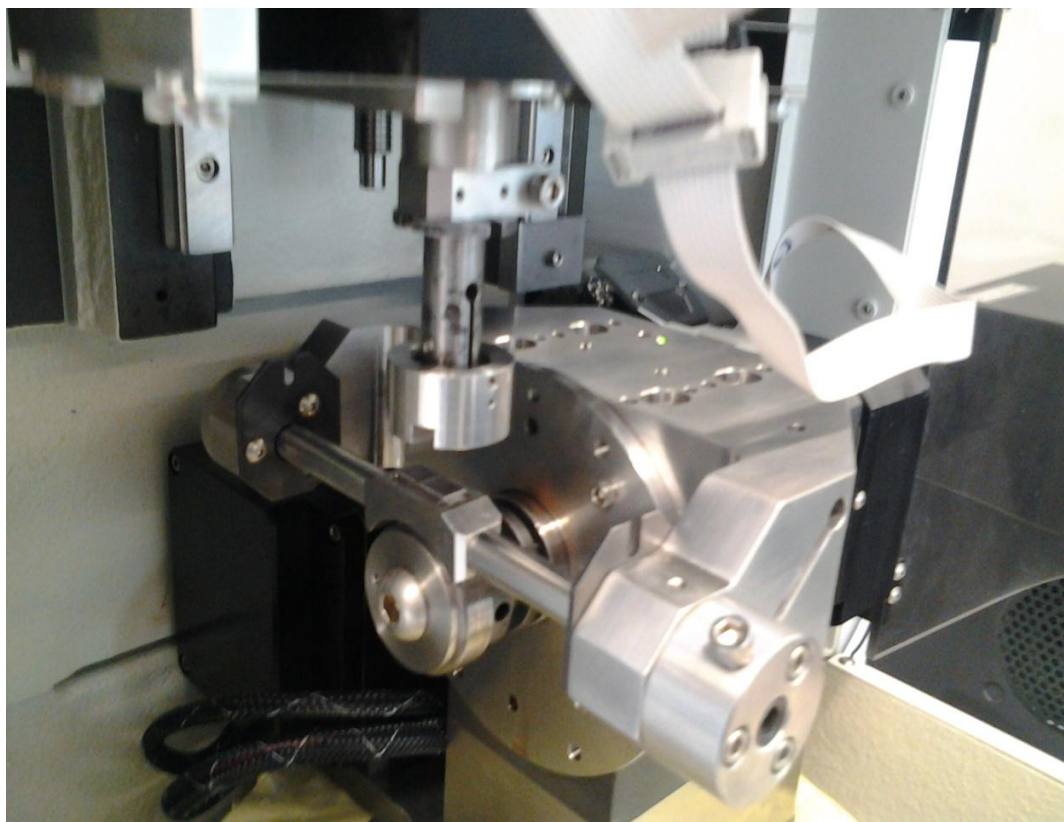


Fig.72. Modul bloc pe inel



# PLANURI DE EVOLUȚIE ȘI DEZVOLTARE A CARIEREI

## ■ CARIERA ȘTIINȚIFICĂ – BAZA MATERIALĂ DE TESTARE

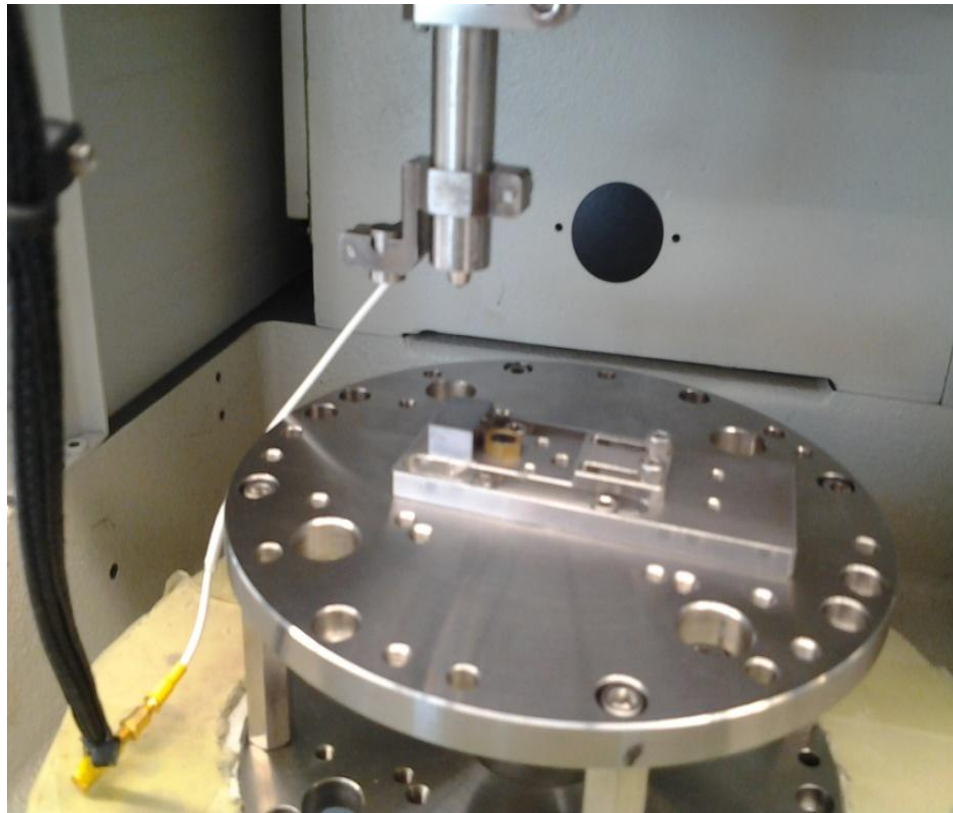
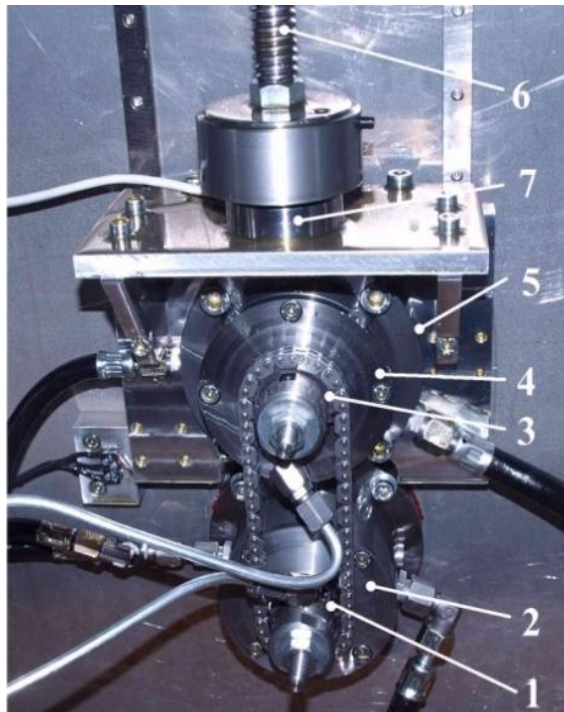


Fig.73. Modulul de indentare



# PLANURI DE EVOLUȚIE ȘI DEZVOLTARE A CARIEREI

## ■ CARIERA ȘTIINȚIFICĂ – BAZA MATERIALĂ DE TESTARE



1, 3 – Roți  
5 – Sanie  
6 - Șurub

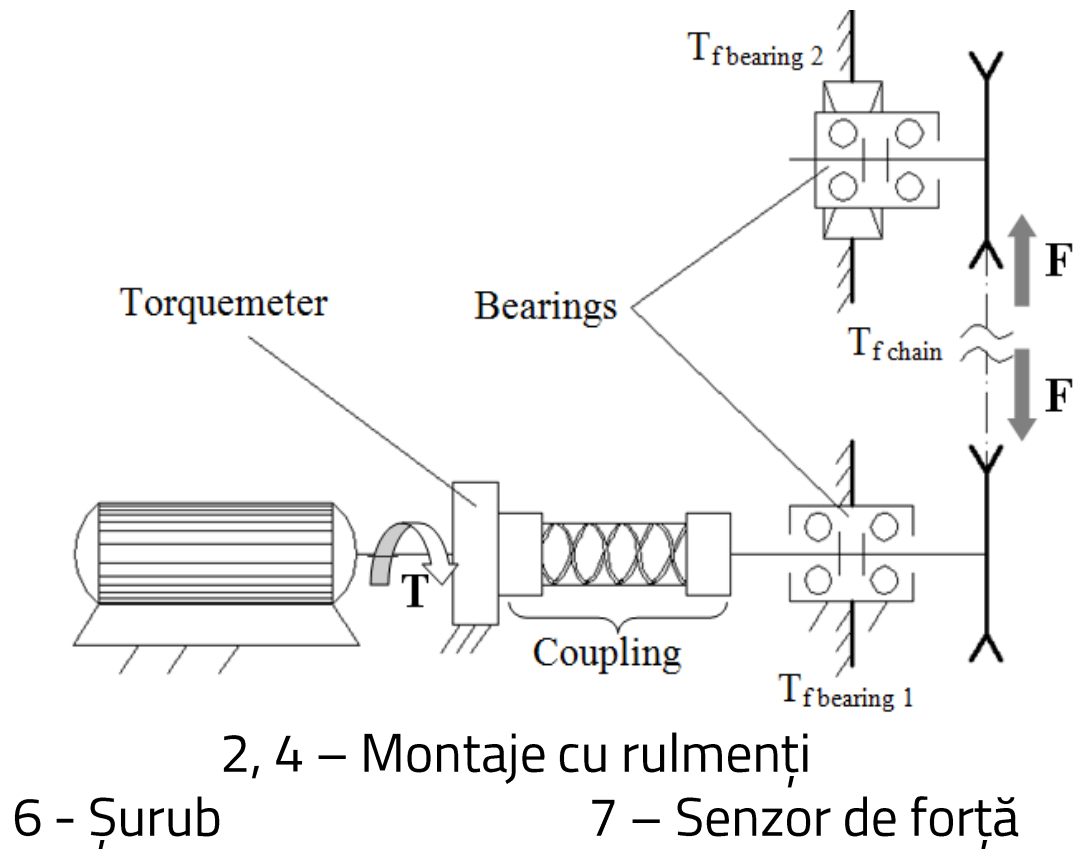


Fig.74. Standul de testare a transmisiilor cu axe paralele



# PLANURI DE EVOLUȚIE ȘI DEZVOLTARE A CARIEREI

## ■ CARIERA ȘTIINȚIFICĂ - OBIECTIVE

- atragerea de fonduri prin contracte de cercetare (naționale, internaționale, cu terți);
- coordonarea de teze de doctorat cu tematica în domeniul transmisiilor mecanice și al tribologiei;
- coordonarea de teze de doctorat elaborate prin colaborări cu mediul economic;
- elaborarea unei monografii în domeniul transmisiilor prin lanț;
- elaborarea anuală de articole științifice indexate ISI Web of Science cu factor de impact > 0,5.





## BIBLIOGRAFIE SELECTIVĂ

1. Diaconescu, D. a. o. The incidence angles of the trackers use for the PV panels orientation. Part I. Equatorial trackers. International Conference on Economic Engineering and Manufacturing Systems. Brasov, 25 – 26 October, 2007.
2. "Cercetări privind creșterea eficienței conversiei energiei solare în colectoarele solar-termice. Grant de cercetare CNCSIS, tip A, cod 418/2006-2208".
3. [www.aquathermsolar.com](http://www.aquathermsolar.com)
4. [www.homepower.com](http://www.homepower.com)
5. [www.lowtechmagazine.com](http://www.lowtechmagazine.com)
6. Wheeler, A. J., Ganji, A. R. Introduction to Engineering Experimentation. Third Edition. Pearson Education Publishing House, 2010.



**VĂ MULTUMESC  
PENTRU  
ATENȚIE!**



Universitatea  
Transilvania  
din Brașov

